

LATITUDE INTEGRATION  
IDCO-SPEZIFIKATION

**LATITUDE™ NXT  
Patienten-Management-System**

Outdated version. Do not use.  
Version überholt. Nicht verwenden.  
Version obsolète. Ne pas utiliser.  
Versión obsoleta. No utilizar.  
Versione obsoleta. Non utilizzare.  
Verouderde versie. Niet gebruiken.  
Föråldrad version. Använd ej.  
Παλιά έκδοση. Μην την χρησιμοποιείτε.  
Versão obsoleta. Não utilize.  
Forældet version. Må ikke anvendes.  
Zastaralá verze. Nepoužívat.  
Utdatert versjon. Skal ikke brukes.  
Zastaraná verzia. Nepoužívať.  
Elavult verzió. Ne használja!  
Wersja nieaktualna. Nie używać.

Outdated version. Do not use.  
Version überholt. Nicht verwenden.  
Version obsolète. Ne pas utiliser.  
Versión obsoleta. No utilizar.  
Versione obsoleta. Non utilizzate.  
Verouderde versie. Niet gebruiken.  
Föråldrad version. Använd ej.  
Παλιά έκδοση. Μην την χρησιμοποιείτε.  
Versão obsoleta. Não utilize.  
Forældet version. Må ikke anvendes.  
Zastaralá verze. Nepoužívat.  
Utdatert versjon. Skal ikke brukes.  
Zastaraná verzia. Nepoužívať.  
Elavult verzió. Ne használja!  
Wersja nieaktualna. Nie używać.

# INHALTSVERZEICHNIS

<b>Überblick</b> .....	<b>1</b>
<b>LATITUDE IDCO-Nachrichtenspezifikation</b> .....	<b>1</b>
Segmentstruktur .....	1
MSH-Segmentstruktur .....	1
PID-Segmentstruktur .....	2
PV1-Segmentstruktur .....	2
PV2-Segmentstruktur .....	2
OBR-Segmentstruktur .....	2
OBX-Segmentstruktur .....	3
Ausgabeparameter .....	3
Definitionen für Alarme und Warnungen .....	3
Berichte .....	3
Grundlegende Begriffe .....	4
<b>Konvertierung der Daten von implantierten Geräten zu IDCO-Nachrichten</b> .....	<b>9</b>
Batteriestatus .....	9
SET_BRADY_SENSOR_TYPE .....	9
Episoden-Mapping .....	10
Zähler-Mapping .....	11
Elektrodenkonfiguration-Mapping .....	12
Systemeinschränkungen .....	12
Definitionen für Alarme und Warnungen .....	13
Berichte .....	13
<b>IDCO-Beispieldatei</b> .....	<b>14</b>

Outdated version. Do not use.  
Version überholt. Nicht verwenden.  
Version obsolète. Ne pas utiliser.  
Versión obsoleta. No utilizar.  
Versione obsoleta. Non utilizzate.  
Verouderde versie. Niet gebruiken.  
Föråldrad version. Använd ej.  
Παλιά έκδοση. Μην χρησιμοποιείτε.  
Versão obsoleta. Não utilize.  
Forældet version. Må ikke anvendes.  
Zastaralá verze. Nepoužívat.  
Utdatert versjon. Skal ikke brukes.  
Zastaraná verzia. Nepoužívať.  
Elavult verzió. Ne használja!  
Wersja nieaktualna. Nie używać.

LATITUDE und RYTHMIQ sind Marken der Boston Scientific Corporation oder ihrer Tochtergesellschaften.

# Überblick

Das LATITUDE-Patientenfernüberwachungssystem von Boston Scientific erstellt IDCO (Implantable Device – Cardiac – Observation) Nachrichten gemäß den in diesem Dokument dargelegten Spezifikationen und Definitionen. Die Nachrichten sind mit dem Integrating the Healthcare Enterprise (IHE) Patient Care Device (PCD) Technical Framework IDCO-Profil konform. Diese Nachrichten dienen zur Übermittlung von Patientendaten an ein elektronisches Krankenaktensystem (EMR-System) oder ein klinisches Informationssystem (CIS).

Das vorliegende Dokument ist für LATITUDE-Kunden von Boston Scientific (BSC) bestimmt, die (1) IDCO-Nachrichten in ein EMR-System integrieren und (2) EMR- oder CIS-Systeme zur Nachverfolgung und Verwaltung von Patientendaten verwenden. Der erste Abschnitt dieses Dokuments („LATITUDE IDCO-Nachrichtenspezifikation“) richtet sich primär an technisches Personal, das für Nachrichtenintegration zuständig ist, während der zweite Abschnitt hauptsächlich die Boston Scientific-Version der in der Nachricht enthaltenen Daten für klinische Anwender verdeutlichen soll.

**HINWEIS:** Es wird vorausgesetzt, dass die Leser dieses Abschnitts mit der HL7- und IDCO-Terminologie, Spezifikationssyntax, Datentypen, Nachrichtenstrukturen und Semantik für IDCO-Nachrichten vertraut sind. Weitere Informationen finden Sie unter:

- [www.hl7.org](http://www.hl7.org) für HL7-Nachrichtenübermittlung
- [www.ihe.net](http://www.ihe.net) für IDCO-Nachrichtenübermittlung
- [http://ihe.net/Technical\\_Framework/index.cfm#pcd](http://ihe.net/Technical_Framework/index.cfm#pcd) für PCD-09 Technical Framework (besteht aus Vol. 1, 2 und 3)
- <http://standards.ieee.org/findstds/standard/11073-10103-2012.html> für IEEE IDCO-Nomenklatur

## LATITUDE IDCO-Nachrichtenspezifikation

Die LATITUDE IDCO-Nachricht ist eine PCD-09-Nachricht für IHE PCD Technical Framework Revision 2.0, 16. August 2012. Für Technical Framework ist die Nachricht eine Standard-HL7 v2.6-Nachricht mit unangeforderten Bestellungen und Untersuchungen, die vom implantierten Gerät durchgeführte Untersuchungen enthält und mit der IEEE 11073-10103 IDC-Nomenklatur codiert wurde. Dieser internationale Standard beschreibt ein universelles Modell für die Kompatibilität elektronischer medizinischer Daten.

Werte, die in den nachfolgenden Tabellen in Anführungszeichen gesetzt sind, sind fest codiert und erscheinen immer wie dargestellt. Werte ohne Anführungszeichen stellen entweder ein Beispiel oder eine Beschreibung des Werts dar.

### Segmentstruktur

Alle gesendeten Daten gelten für PCD-09. Die in diesem Abschnitt enthaltenen Informationen sollen die BSC-Ausgabe für IDCO-Nachrichten definieren. Diese Informationen sind nicht vollständig, und dienen nicht dazu, die IDCO-Nomenklatur näher zu definieren.

### MSH-Segmentstruktur

Das MSH-Segment enthält Informationen über den Sender und Empfänger der Nachricht, den Nachrichtentyp, einen Zeitstempel usw. und ist das erste Segment der IDCO-Nachricht.

NAME DES ELEMENTS	SEQ	SUB SEQ	WERT
Sendende Anwendung	3		„LATITUDE“
Sendende Einrichtung	4		„BOSTON SCIENTIFIC“
Empfangende Einrichtung	6		LATITUDE Krankenhausname
Zeichensatz	18		„UNICODE UTF-8“

## PID-Segmentstruktur

Das PID-Segment enthält Daten zur Patientenidentifizierung wie Name, ID-Code, Postleitzahl usw. Diese Informationen werden für den Patientenabgleich verwendet.

NAME DES ELEMENTS	SEQ	SUB SEQ	WERT
Namespace-ID	3	4	„BSX“

## PV1-Segmentstruktur

Das PV1 (Patientenbesuch)-Segment enthält Informationen zum behandelnden Arzt des Patienten.

NAME DES ELEMENTS	SEQ	SUB SEQ	WERT
Patientenklasse	2		„R“

## PV2-Segmentstruktur

Das PV2 (Patientenbesuch 2)-Segment enthält Informationen zur LATITUDE-Gruppe des Patienten.

NAME DES ELEMENTS	SEQ	SUB SEQ	WERT
Name der Organisation (Gruppe)	23	1	LATITUDE-Gruppenname Beispiel: Kardiologie
ID-Nummer (primäre oder sekundäre Patientengruppe)		3	1 Siehe Hinweis 1

## PV2-Hinweise

- Dieser Wert ist „1“, wenn die HL7-Datei mit der primären LATITUDE-Gruppe verknüpft ist, und „2“, wenn sie mit der sekundären LATITUDE-Gruppe verknüpft ist.

## OBR-Segmentstruktur

OBR-Segmente sind die Abschnittsüberschriften für einzelne OBX-Abfrageinformationssegmente. Sie enthalten Daten wie Zeitstempel, Berichtkennung und eine einzigartige systemgenerierte Kennung.

NAME DES ELEMENTS	SEQ	SUB SEQ	BEISPIELWERT
Universelle Servicekennung	4		
Kennung		1	754053
Text		2	Siehe Hinweis 1
Datum/Uhrzeit der Untersuchung #	7		20060429080005+0000 Siehe Hinweis 2
Ergebnisstatus	25		„F“ Siehe Hinweis 3

## OBR-Hinweise

1. Der Text der universellen Servicekennung hat das Format MDC\_IDC\_ENUM\_SESS\_TYPE\_{Sitzungstyp} (z. B. MDC\_IDC\_ENUM\_SESS\_TYPE\_RemoteScheduled).
2. „Datum/Uhrzeit der Untersuchung“ zeigt den Zeitstempel der Abfrage des implantierten Aggregats an. Der Zeitstempel befindet sich in der Zeitzone, die für den Patienten eingerichtet wurde.
3. Der Ergebnisstatus lautet „F“ (Endergebnisse).

## OBX-Segmentstruktur

OBX-Segmente enthalten Daten, die während der letzten Geräteabfrage gesammelt wurden.

NAME DES ELEMENTS	SEQ	SUB SEQ	BEISPIELWERT
Status des Untersuchungsergebnisses	11		„F“ Siehe Hinweis 1
Datum/Uhrzeit der Untersuchung	14		20060317170000+0000 Siehe Hinweis 2

## OBX-Hinweise

1. Der Ergebnisstatus lautet „F“ (Endergebnisse).
2. Das Datum der Messung wird angegeben, wenn das Messungsdatum vom Untersuchungsdatum im OBR abweicht.

## Ausgabeparameter

- Die Zeichenfolgen werden in der Sprache gesendet, die für die Klinik in LATITUDE konfiguriert wurde.
- Zahlenwerte werden immer mit dem Punkt „.“ als Radixpunkt (Dezimalpunkt) gesendet.

## Definitionen für Alarme und Warnungen

- Wenn eine Warnung vorhanden ist, wird ein Warnungs-NTE einem oder mehreren Alarm-NTEs vorangestellt. Ein Warnungs-NTE enthält eine oder mehrere Warnungen in einem NTE.
- Wenn ein Alarm vorhanden ist, gibt es ein NTE für jeden Alarm.

## Berichte

### Eingangs-EGM-Bericht

Wenn der Eingangs-EGM-Bericht in den vom PG erhaltenen Nutzdaten enthalten ist, wird dieser Bericht als PDF-Datei an die Nachricht angehängt und mithilfe der Gruppen-ID (OBX-4) für die APMRT-Episode mit dieser APMRT-Episode verknüpft.

### Kombinierter Nachsorgebericht

Ein „Kombinierter Nachsorgebericht“ ist als PDF-Datei in einem separaten OBX an die Nachricht angehängt.

## Grundlegende Begriffe

In der nachfolgenden Tabelle sind die Nomenklatur-Begriffe aufgeführt, die in einer BSC IDCO-Nachricht enthalten sein können.

<b>REFERENZ-ID PREPEND MDC_IDC_</b>	<b>ANZEIGENNAME</b>
<b>DEV</b>	<b>Implantierbares kardiales Gerät</b>
DEV_TYPE	Implantierbares kardiales Gerät – Typ
DEV_MODEL	Implantierbares kardiales Gerät – Modell
DEV_SERIAL	Implantierbares kardiales Gerät – Seriennummer
DEV_MFG	Implantierbares kardiales Gerät – Hersteller
DEV_IMPLANT_DT	Implantierbares kardiales Gerät – Implantationsdatum
<b>LEAD</b>	<b>Implantierbare Elektrode – Attribute</b>
LEAD_MODEL	Implantierbare Elektrode – Modell
LEAD_SERIAL	Implantierbare Elektrode – Seriennummer
LEAD_MFG	Implantierbare Elektrode – Hersteller
LEAD_IMPLANT_DT	Implantierbare Elektrode – Implantationsdatum
LEAD_POLARITY_TYPE	Implantierbare Elektrode – Polaritätstyp
LEAD_LOCATION	Implantierbare Elektrode – Position
LEAD_LOCATION_DETAIL_1	Implantierbare Elektrode – Position Detail 1
<b>SESS</b>	<b>Abfragesitzung</b>
SESS_DTM	Abfragesitzung – Datum/Uhrzeit
SESS_TYPE	Abfragesitzung – Typ
SESS_CLINIC_NAME	Krankenhausname
<b>MSMT</b>	<b>Messungen</b>
<b>MSMT_BATTERY</b>	<b>Batteriemessungen</b>
MSMT_BATTERY_DTM	Batterie – Datum und Uhrzeit der Messungen
MSMT_BATTERY_STATUS	Batterie – Status
MSMT_BATTERY_REMAINING_LONGEVITY	Batterie – Verbleibende Funktionsdauer
MSMT_BATTERY_REMAINING_PERCENTAGE	Batterie – Verbleibender Prozentsatz
<b>MSMT_CAP</b>	<b>Kondensator – Messungen</b>
MSMT_CAP_CHARGE_DTM	Kondensator – Datum/Uhrzeit der letzten Ladung
MSMT_CAP_CHARGE_TIME	Kondensator – Ladezeit
MSMT_CAP_CHARGE_TYPE	Kondensator – Ladetyp



REFERENZ-ID PREPEND MDC_IDC_	ANZEIGENNAME
<b>MSMT_LEADCHNL_[CHAMBER]</b>	<b>Elektrodenkanal – Messungen</b>
MSMT_LEADCHNL_[CHAMBER]_DTM_[STRTEND]	Elektrodenkanal – Datum und Uhrzeit der Messungen
MSMT_LEADCHNL_[CHAMBER]_LEAD_CHANNEL_STATUS	Elektrodenkanal – Status
<b>MSMT_LEADCHNL_[CHAMBER]_SENSING</b>	<b>Elektrodenkanal – Detektionsmesswerte</b>
MSMT_LEADCHNL_[CHAMBER]_SENSING_INTR_AMPL_[MMM]	Elektrodenkanal – Detektion intrinsische Amplitude
MSMT_LEADCHNL_[CHAMBER]_SENSING_POLARITY	Elektrodenkanal – Detektionspolarität
<b>MSMT_LEADCHNL_[CHAMBER]_PACING_THRESHOLD</b>	<b>Elektrodenkanal – Messungen Stimulationsreizschwelle</b>
MSMT_LEADCHNL_[CHAMBER]_PACING_THRESHOLD_AMPLITUDE	Elektrodenkanal – Amplitude Stimulationsreizschwelle
MSMT_LEADCHNL_[CHAMBER]_PACING_THRESHOLD_PULSEWIDTH	Elektrodenkanal – Reizschwellen-Impulsdauer Stimulation
MSMT_LEADCHNL_[CHAMBER]_PACING_THRESHOLD_MEASUREMENT_METHOD	Elektrodenkanal – Messmethode Stimulationsreizschwelle
MSMT_LEADCHNL_[CHAMBER]_PACING_THRESHOLD_POLARITY	Elektrodenkanal – Polarität Stimulationsreizschwelle
<b>MSMT_LEADCHNL_[CHAMBER]_IMPEDANCE</b>	<b>Elektrodenkanal – Impedanzmessungen</b>
MSMT_LEADCHNL_[CHAMBER]_IMPEDANCE_VALUE	Elektrodenkanal – Impedanzwert
MSMT_LEADCHNL_[CHAMBER]_IMPEDANCE_POLARITY	Elektrodenkanal – Impedanzpolarität
<b>MSMT_LEADHVCHNL</b>	<b>Hochspannung-Elektrodenkanal – Messungen</b>
MSMT_LEADHVCHNL_DTM_[STRTEND]	Hochspannung-Elektrodenkanal – Datum/Uhrzeit
MSMT_LEADHVCHNL_IMPEDANCE	Hochspannung-Elektrodenkanal – Impedanz
MSMT_LEADHVCHNL_MEASUREMENT_TYPE	Hochspannung-Elektrodenkanal – Messungstyp
MSMT_LEADHVCHNL_STATUS	Hochspannung-Elektrodenkanal – Status
<b>SET</b>	<b>Einstellungen</b>
<b>SET_CRT</b>	<b>CRT-Einstellungen</b>
SET_CRT_LVRV_DELAY	CRT LV-RV-Verzögerung
SET_CRT_PACED_CHAMBERS	Ventrikuläre Kammern, die während der CRT-Stimulation stimuliert werden

REFERENZ-ID PREPEND MDC_IDC_	ANZEIGENNAME
<b>SET_LEADCHNL_[CHAMBER]</b>	<b>Elektrodenkanal-Einstellungen</b>
<b>SET_LEADCHNL_[CHAMBER]_SENSING</b>	<b>Elektrodenkanal-Einstellungen – Detektion</b>
SET_LEADCHNL_[CHAMBER]_SENSING_ SENSITIVITY	Elektrodenkanal-Einstellung Detektion – Empfindlichkeit
SET_LEADCHNL_[CHAMBER]_SENSING_ POLARITY	Elektrodenkanal-Einstellung Detektion – Polarität
SET_LEADCHNL_[CHAMBER]_SENSING_ ANODE_LOCATION_[1..3]	Elektrodenkanal-Einstellung Detektion – Anodenposition
SET_LEADCHNL_[CHAMBER]_SENSING_ ANODE_ELECTRODE_[1..3]	Elektrodenkanal-Einstellung Detektion – Anodenterminal
SET_LEADCHNL_[CHAMBER]_SENSING_ CATHODE_LOCATION_[1..3]	Elektrodenkanal-Einstellung Detektion – Kathodenposition
SET_LEADCHNL_[CHAMBER]_SENSING_ CATHODE_ELECTRODE_[1..3]	Elektrodenkanal-Einstellung Detektion – Kathodenterminal
SET_LEADCHNL_[CHAMBER]_SENSING_ ADAPTATION_MODE	Elektrodenkanal-Einstellung Detektion – Adaptionsmodus
<b>SET_LEADCHNL_[CHAMBER]_PACING</b>	<b>Elektrodenkanaleinstellungen – Stimulation</b>
SET_LEADCHNL_[CHAMBER]_PACING_ AMPLITUDE	Elektrodenkanaleinstellung Stimulation – Amplitude
SET_LEADCHNL_[CHAMBER]_PACING_ PULSEWIDTH	Elektrodenkanaleinstellung Stimulation – Impulsdauer
SET_LEADCHNL_[CHAMBER]_PACING_ POLARITY	Elektrodenkanaleinstellung Stimulation – Polarität
SET_LEADCHNL_[CHAMBER]_PACING_ ANODE_ LOCATION_[1..3]	Elektrodenkanaleinstellung Stimulation – Anodenposition
SET_LEADCHNL_[CHAMBER]_PACING_ ANODE_ ELECTRODE_[1..3]	Elektrodenkanaleinstellung Stimulation – Anodenterminal
SET_LEADCHNL_[CHAMBER]_PACING_ CATHODE_ LOCATION_[1..3]	Elektrodenkanaleinstellung Stimulation – Kathodenposition
SET_LEADCHNL_[CHAMBER]_PACING_ CATHODE_ELECTRODE_[1..3]	Elektrodenkanaleinstellung Stimulation – Kathodenterminal
SET_LEADCHNL_[CHAMBER]_PACING_ CAPTURE_MODE	Elektrodenkanaleinstellung Stimulation – Erfassungsmodus

REFERENZ-ID PREPEND MDC_IDC_	ANZEIGENNAME
<b>SET_BRADY</b>	<b>Brady-Einstellungen</b>
SET_BRADY_MODE	Brady-Einstellungsmodus (NBG-Code)
SET_BRADY_LOWRATE	Brady-Einstellung – Untere Grenzfrequenz
SET_BRADY_SENSOR_TYPE	Brady-Einstellung – Sensortyp
SET_BRADY_MAX_TRACKING_RATE	Brady-Einstellung – Maximale Trackingfrequenz
SET_BRADY_MAX_SENSOR_RATE	Brady-Einstellung – Maximale Sensorfrequenz
SET_BRADY_SAV_DELAY_[HIGHLOW]	Brady-Einstellung – SAV-Verzögerung
SET_BRADY_PAV_DELAY_[HIGHLOW]	Brady-Einstellung – PAV-Verzögerung
SET_BRADY_AT_MODE_SWITCH_MODE	Brady-Einstellung – Umschaltmodus AT-Modus
SET_BRADY_AT_MODE_SWITCH_RATE	Brady-Einstellung – Umschaltfrequenz AT-Modus
<b>SET_TACHYTHERAPY</b>	<b>Tachy-Therapie-Einstellungen</b>
SET_TACHYTHERAPY_VSTAT	Tachy-Therapie-Einstellungen – Ventrikulärer Status
<b>SET_ZONE</b>	<b>Zoneneinstellungen</b>
SET_ZONE_TYPE	Zoneneinstellung – Typkategorie
SET_ZONE_VENDOR_TYPE	Zoneneinstellung – Händlertyp-Kategorie
SET_ZONE_STATUS	Zoneneinstellung – Status
SET_ZONE_DETECTION_INTERVAL	Zoneneinstellung – Detektionsintervall
SET_ZONE_TYPE_ATP_[1..10]	Zoneneinstellung – ATP-Typ
SET_ZONE_NUM_ATP_SEQS_[1..10]	Zoneneinstellung – Anzahl von ATP-Sequenzen
SET_ZONE_SHOCK_ENERGY_[1..10]	Zoneneinstellung – Schockenergie
SET_ZONE_NUM_SHOCKS_[1..10]	Zoneneinstellung – Anzahl von Schocks
<b>STAT</b>	<b>Statistiken</b>
STAT_DTM_[STRTEND]	Statistik – Datum/Uhrzeit
<b>STAT_BRADY</b>	<b>Brady-Statistiken</b>
STAT_BRADY_DTM_[STRTEND]	Brady-Statistik – Datum/Uhrzeit
STAT_BRADY_RA_PERCENT_PACED	Brady Statistik – RA-Prozent stimuliert
STAT_BRADY_RV_PERCENT_PACED	Brady Statistik – RV-Prozent stimuliert
<b>STAT_CRT</b>	<b>CRT-Statistiken</b>
STAT_CRT_DTM_[STRTEND]	CRT-Statistik – Datum/Uhrzeit
STAT_CRT_LV_PERCENT_PACED	CRT-Statistik – LV-Prozent stimuliert

<b>REFERENZ-ID PREPEND MDC_IDC_</b>	<b>ANZEIGENNAME</b>
<b>STAT_EPISODE</b>	<b>Statistik Episode</b>
STAT_EPISODE_TYPE	Statistik Episode – Kategorietyt
STAT_EPISODE_TYPE_INDUCED	Statistik Episode – Typ induziert
STAT_EPISODE_VENDOR_TYPE	Statistik Episode – Kategorie Händlertyp
STAT_EPISODE_RECENT_COUNT	Statistik Episode – Letzte Zählung
STAT_EPISODE_RECENT_COUNT_DTM_ [STRTEND]	Statistik Episode – Letztes Datum/letzte Uhrzeit
<b>EPISODE</b>	<b>Episode</b>
EPISODE_ID	Episode – Kennung
EPISODE_DTM	Episode – Datum/Uhrzeit
EPISODE_TYPE	Episodentyp – Kategorie
EPISODE_TYPE_INDUCED	Episodentyp – Induziert-Markierung
EPISODE_VENDOR_TYPE	Episode – Kategorie Händlertyp
EPISODE_ATRIAL_INTERVAL_AT_DETECTION	Episode – Detektionsintervall Atrial
EPISODE_VENTRICULAR_INTERVAL_AT_DETECTION	Episode – Detektionsintervall Ventrikulär
EPISODE_DETECTION_THERAPY_DETAILS	Episode – Details zu Detektion und Therapie
EPISODE_DURATION	Episode – Dauer

# Konvertierung der Daten von implantierten Geräten zu IDCO-Nachrichten

## Batteriestatus

Die aufgeführten Batterieparameter werden folgendermaßen dem BSC-Batteriestatus zugeordnet:

BSC-BATTERIESTATUS	IDCO-BATTERIESTATUS
BOL	BOS
OY	MOS
ERI	RRT
EOL	EOS

Wenn ein implantiertes Gerät eingeschränkte Telemetrie erreicht, könnte der Batteriestatus entweder ERI oder EOL lauten. Beide Batteriestatus führen zu folgender Nachricht: ENUM\_BATTERY\_STATUS\_RRT (ERI) in MSMT\_BATTERY\_STATUS mit dem ERI-Zeitstempel in MSMT\_BATTERY\_DTM. Dieser Zustand gilt nur für eingeschränkte Telemetrie.

## SET\_BRADY\_SENSOR\_TYPE

Der Sensortyp wird gesendet, wie in der nachfolgenden Tabelle dargestellt.

GESENDETER WERT FÜR SET_BRADY_SENSOR_TYPE VARIABLE BASIERT AUF DER EINSTELLUNG DES IMPLANTIERTEN GERÄTS	EINSTELLUNG IMPLANTIERTES GERÄT
„Akzelerometer“	Nur Akzelerometer
„Atemminutenvolumen“	Nur AMV
„Akzelerometer + AMV“	Akzelerometer und AMV

Die obigen Werte werden nur gesendet, wenn die Frequenz vom Sensor gesteuert werden kann (d. h. sie werden nicht gesendet, wenn sich der Sensor in einem reinen Überwachungsstatus befindet).

Die obigen Werte werden nur gesendet, wenn die Frequenz im normalen Brady-Modus oder in ATR gesteuert werden kann (d. h. der Wert gibt nicht einfach nur den normalen Brady-Modus wieder).

Beachten Sie, dass „Nur ATR“ in Berichten angezeigt werden kann, wenn der ATR-Modus ein Modus mit Frequenzanpassung ist; der normale Brady-Modus bietet keine Frequenzanpassung. In diesem Fall wird der Text (z. B. „Akzelerometer“) weiterhin für den ATR-Modus gesendet. Der Benutzer kann den Brady-Modus und den ATR-Modus prüfen und festlegen, dass die Frequenzanpassung nur für ATR gilt.

## Episoden-Mapping

Episoden, Zähler usw. werden relativ zu den Informationen gesendet, die in der Abfrage enthalten sind. Dieselben Informationen werden zu Anfang und in einer nachfolgenden erneuten Sendung gesendet, auch wenn eine Abfrage dazwischen liegt. Beachten Sie, dass die EMR-Ausgabe nicht immer mit der Anzeige im Bericht „Quick Notes“ übereinstimmt, da in den „Quick Notes“ die Episoden, Alarmer und Zähler seit dem letzten Reset angezeigt werden. Episoden werden in einer Kombination von normativen und händlerspezifischen Typen dargestellt. Einige Episodentypen bei Boston Scientific können nicht eindeutig in der aktuellen IDCO-Nomenklatur dargestellt werden.

BSC-EPISODEN-ID	BSC-EPISODENTYP	NORMATIVER IDCO-EPISODENTYP	HÄNDLERSPEZIFISCHER IDCO-EPISODENTYP
V-x	VF	VF	BSX-Zone_VF
V-x	VT	VT	BSX-Epis_VT
V-x	VT (V>A)	VT	BSX-Epis_VT
V-x	Tachy	Für SSI-Geräte, wenn sich die Elektrode im folgenden Status befindet: <ul style="list-style-type: none"> <li>• V – VT</li> <li>• A – AT/AF</li> <li>• Unspezifiziert – VT</li> </ul>	Leer
V-x	NonSust	Für SSI-Geräte, wenn sich die Elektrode im folgenden Status befindet: <ul style="list-style-type: none"> <li>• V – VT</li> <li>• A – AT/AF</li> <li>• Unspezifiziert – VT</li> </ul>	wenn A, leer sonst BSX-Epis_NSVT
V-x	SVT (V≤A)	SVT	BSX-Zone_SVT
V-x	VT-1	VT	BSX-Epis_VT-1
RMS-x	RMS	Sonstige	BSX-Epis_RMS
RYTHMIQ-x	RYTHMIQ	Sonstige	BSX-Epis_RMS
ATR-x	ATR	ATAF	BSX-Epis_ATR
PMT-x	PMT	Sonstige	BSX-Epis_PMT
SBR-x	SBR	Sonstige	Keine
PTM-x	PTM	Patient aktiviert	BSX-Epis_PTM
V-x	Bef. V	Sonstige	Keine
V-x	NonSustV	VT	BSX-Epis_NSVT
APMRT-x	APM RT	Periodisches EGM	BSX-Epis_APMRT
RVAT-x	RV Autom	Sonstige	Keine
RAAT-x	RA Autom	Sonstige	Keine
LVAT-x	LV Autom	Sonstige	Keine
MRI-x	MRT	Sonstige	Keine

## Zähler-Mapping

Einige Zähler werden zusammengefasst, bevor die Nachricht gesendet wird. Dies liegt daran, dass die Boston Scientific-Zähler derzeit nicht eindeutig in der aktuellen IDCO-Nomenklatur dargestellt werden können: Die gesendeten Zählerwerte sind die seit dem letztem Reset.

BSC-EPISODENZÄHLER	STATISTISCHER NORMATIVER IDCO-EPISODENTYP	STATISTISCHER HÄNDLERSPEZIFISCHER IDCO-EPISODENTYP
VT (V>A)	VT	BSX-Epis_VT
Tachy	VT	BSX-Epis_VT
NonSust	VT	BSX-Epis_NSVT
NonSustV	VT	BSX-Epis_NSVT
SVT (V≤A)	SVT	BSX-Epis_SVT
ATR	AT/AF	BSX-Epis_ATR
MRT	Sonstige	Keine
VF	VF	BSX-Epis_VF
VT	VT	BSX-Epis_VT
VT-1	VT	BSX-Epis_VT-1
Bef.	Sonstige	Keine
Keine Therapie programmiert	Überwachungsgerät	Keine
Weitere unbehandelte	Sonstige	Keine
RMS	Sonstige	BSX-Epis_RMS
RYTHMIQ	Sonstige	BSX-Epis_RMS
PMT	Sonstige	BSX-Epis_PMT
SBR	Sonstige	Keine
PTM	Patient aktiviert	BSX-Epis_PTM
APM RT	Periodisches EGM	BSX-Epis_APMRT
RA Auto	Sonstige	Keine
RV Autom.	Sonstige	Keine
LV Auto	Sonstige	Keine

## Elektrodenkonfiguration-Mapping

In der nachfolgenden Tabelle wird dargestellt, wie mehrere Elektrodenpole bei IDCO und BSC definiert werden. Diese Tabelle soll nicht vollständig sein, sondern enthält nur Aufzählungen, die möglicherweise nicht allgemein bekannt sind.

Die von BSC verwendeten Definitionen wurden so gewählt, dass sie mit dem Programmer Recorder Monitor (PRM) und der LATITUDE-Website konsistent sind.

BSC-ELECTRODENNAME	POSITION IDCO-ELEKTRODE	IDCO-ELECTRODENNAME
Gehäuse	Sonstige	Gehäuse
LVTip1	LV	Spitze
LVRing2	LV	Ring1
LVRing3	LV	Ring2
LVRing4	LV	Ring3

MDC\_IDC\_ENUM\_ELECTRODE\_LOCATION (Stimulation/Detektionsanode/Kathodenposition) enthält derzeit keine Aufzählung für die Tasche (d. h. Gehäuse). Die Position wird als „Sonstige“ und die Elektrode als „Gehäuse“ gesendet.

Der Status „Elektrode überprüfen“ gibt ein mögliches Problem mit der Elektrode an; wenn kein Status „Elektrode überprüfen“ angezeigt wird, bedeutet das nicht, dass die Elektrode ordnungsgemäß arbeitet. Der Status „Elektrode prüfen“ wird gesendet, wenn eine der folgenden Statusanzeigen vorhanden ist:

- Sicherheits-Umschaltung
- Impedanz außerhalb der Grenzwerte
- Amplitude außerhalb der Grenzwerte
- Niedrige Schock-Impedanz
- Hohe Schock-Impedanz
- Hochspannung während des Ladens

Für MSMT\_LEADCHNL [CHAMBER] (d. h. Elektrodenkanalmessungen wie intrinsische Amplitude, Elektrodenimpedanz, Stimulationsreizschwelle) ist nur ein Zeitstempelbereich für alle Messungen in der aktuellen IDCO-Nomenklatur möglich (d. h. nicht ein Bereich pro Messung). Wenn die Messzeiten unterschiedlich sind, wird ein Zeitstempelbereich gesendet (d. h. MIN, MAX), der die Uhrzeit aller drei Messungen einschließt. Weiterhin sind die gesendeten Werte ein IDCO MEAN-Wert für die IDCO-Nomenklatur. Die Werte sind jedoch einzelne Messungen und keine Mittelwerte des Zeitstempelbereichs.

## Systemeinschränkungen

- Die Tachy-spezifische und kammer-spezifische Ausgabe ist so spezifisch wie möglich. In einigen Fällen wird durch die Wichtigkeit der Daten und die Tatsache, dass IDCO bestimmte Parameter nicht darstellen kann, sichergestellt, dass die Daten gesendet werden. So werden beispielsweise Informationen zur VT-Zone gesendet, als ob Brady-Geräte über eine VT-Zone verfügten.
- Bei Geräten, die über keine automatische Stimulations-Reizschwelle verfügen (Automatische Reizschwellenfunktion) wird die letzte Stimulationsreizschwellenmessung gesendet.
- Die korrekte Weitergabe von Daten und Alarm-Meldungen implantierter Geräte durch das LATITUDE NXT-System hängt davon ab, ob der Zeitgeber des implantierten Geräts richtig mit einem PRM (Programmier-/Aufzeichnungs-/Überwachungsgerät) programmiert wurde. Die korrekte Weitergabe kann auch noch einige Zeit gestört sein, nachdem der implantierte Zeitgeber des Geräts richtig programmiert wurde. Dies hängt davon ab, welche Menge an Daten mit falscher Zeitangabe empfangen wurden und wie groß die Zeitdifferenz durch den Fehler ist.
- Die Zeichenfolgen werden in der Sprache gesendet, die für die Klinik in LATITUDE konfiguriert wurde.



## Definitionen für Alarme und Warnungen

Warnungen und Alarm-Meldungen werden als Hinweise in die Nachrichten aufgenommen, die möglicherweise in einem EMR angezeigt werden. Eine Warnung oder ein Alarm wird in die Nachricht aufgenommen, wenn die Daten, die vom PG hochgeladen wurden, die Warnung oder den Alarm gesteuert haben.

## Berichte

### Eingangs-EGM-Bericht

Wenn der Eingangs-EGM-Bericht in den vom PG erhaltenen Nutzdaten enthalten ist, wird dieser Bericht als PDF-Datei an die Nachricht angehängt und mithilfe der Gruppen-ID (OBX-4) für die APMRT-Episode mit dieser APMRT-Episode verknüpft.

### Kombinierter Nachsorgebericht

Ein „Kombinierter Nachsorgebericht“ ist als PDF-Datei an die Nachricht angehängt.

Outdated version. Do not use.  
Version überholt. Nicht verwenden.  
Version obsolete. Ne pas utiliser.  
Versión obsoleta. No utilizar.  
Versione obsoleta. Non utilizzare.  
Verouderde versie. Niet gebruiken.  
Föråldrad version. Använd ej.  
Παλιά έκδοση. Μην χρησιμοποιείτε.  
Versão obsoleta. Não utilize.  
Forældet version. Må ikke anvendes.  
Zastaralá verzia. Nepoužívať.  
Utdatert versjon. Skal ikke brukes.  
Zastaraná verzia. Nepoužívať.  
Elavult verzió. Ne használja!  
Wersja nieaktualna. Nie używać.

## IDCO-Beispieldatei

Die folgende IDCO-Beispieldatei zeigt, wie die LATITUDE-IDCO-Nachricht aussehen kann. Dies ist nur ein Beispiel von vielen möglichen Formen. Die Daten in der Beispielnachricht sind hypothetisch, und es sind nicht alle LATITUDE-IDCO-Begriffe dargestellt.

```
MSH|^~\&|LATITUDE|BOSTON SCIENTIFIC||TestClinic|201305092136+0000||ORU^R01^ORU_R01
|0|P|2.6|||UNICODE UTF-8|de^German||IHE_PCD_009^IHE_PCD
^1.3.6.1.4.1.19376.1.6.1.9.1^ISO
PID|1||model:N119/serial:900141^^^BSX^U||testLastName^testName^^^^^^I
-testAuxLName^testAuxFName^^^^^^P||19680215|U
PV1|1|R
PV2|||||||||||||||||||||TestDeviceGroup^1
OBR|1||1000000916|754054^MDC_IDC_ENUM_SESS_TYPE_RemotePatientInitiated
^MDC||201001151330-0500|||||||||||||F
NTE|1||02 Feb 2012 00:00 - Alarmstufe Gelb - AF Burden von mindestens 3,0 Stunden
in einem 24-Stunden-Zeitraum.
NTE|2||02 Feb 2012 00:00 - Alarmstufe Gelb - AF Burden von mindestens 3,0 Stunden
in einem 24-Stunden-Zeitraum zwischen 11 Jan 2010 23:00 und 12 Jan 2010 00:00.
NTE|3||02 Feb 2012 00:00 - Alarmstufe Gelb - Cardiale Resynchronisationstherapie
Stimulation von < 1%. Stimulation war 2% zwischen 11 Jan 2010 23:00
und 12 Jan 2010 00:00.
NTE|4||02 Feb 2012 00:00 - Alarmstufe Gelb - Rechtsventrikuläre Stimulation von > 1%.
Die Stimulation betrug 2% zwischen 11 Jan 2010 23:00 und 12 Jan 2010 00:00.
NTE|5||02 Feb 2012 00:00 - Alarmstufe Gelb - Vom Patienten ausgelöstes Ereignis
gespeichert. Episoden-Details im Arrhythmie-Logbuch im Register „Ereignisse“ ansehen.
NTE|6||02 Feb 2012 00:00 - Alarmstufe Gelb - Gewichtszunahme von mindestens 2,27 kg in
einer Woche oder durchschnittlich mindestens 0,91 kg innerhalb von zwei oder
mehr Tagen.
NTE|7||02 Feb 2012 00:00 - Alarmstufe Gelb - Gewichtsverlust von mindestens 2,27 kg in
einer Woche oder durchschnittlich mindestens 0,91 kg innerhalb von zwei oder
mehr Tagen.
NTE|8||02 Feb 2012 00:00 - Alarmstufe Gelb - Explantations-Indikator erreicht
am 12 Jan 2010 00:00. Termin zum Austausch dieses Geräts ansetzen.
NTE|9||02 Feb 2012 00:00 - Alarmstufe Gelb - Spannung war zu niedrig für vorhergesagte
verbleibende Kapazität.
NTE|10||02 Feb 2012 00:00 - Alarmstufe Rot - Fernüberwachung deaktiviert am 12 Jan 2010
00:00 wegen begrenzter Batteriekapazität (Explantationsindikator erreicht am
12 Feb 2010 00:00).
NTE|11||02 Feb 2012 00:00 - Alarmstufe Gelb - Beschädigung der Therapie Speicher-Daten
festgestellt. Bisher gespeicherte Therapie Speicher-Daten wurden gelöscht.
NTE|12||02 Feb 2012 00:00 - Alarmstufe Rot - Mögliche Gerätefunktionsstörung
(Fehler-Code 1011).
NTE|13||02 Feb 2012 00:00 - Alarmstufe Rot - Mögliche Fehlfunktion des Geräts
(Fehlercode 1007).
NTE|14||02 Feb 2012 00:00 - Alarmstufe Rot - Mögliche Fehlfunktion des Geräts
(Fehlercode 1009).
NTE|15||02 Feb 2012 00:00 - Alarmstufe Rot - Das Gerät befindet sich im Sicherheitsmodus.
Zum Schutz des Patienten hat das Gerät in den Sicherheitsmodus umgeschaltet.
NTE|16||02 Feb 2012 00:00 - Alarmstufe Gelb - Rechtsventrikuläre automatische
Reizschwelle erkannt als < programmierte Amplitude oder ausgesetzt.
NTE|17||02 Feb 2012 00:00 - Alarmstufe Gelb - Atriale automatische Reizschwelle erkannt
als > programmierte Amplitude oder ausgesetzt.
NTE|18||02 Feb 2012 00:00 - Alarmstufe Rot - Schockelektrodenimpedanz außerhalb des
zulässigen Bereichs.
NTE|19||02 Feb 2012 00:00 - Alarmstufe Rot - Niedrige Schockelektrodenimpedanz bei
dem Versuch erkannt, einen Schock abzugeben
NTE|20||02 Feb 2012 00:00 - Alarmstufe Rot - Hohe Schockelektrodenimpedanz bei dem
Versuch erkannt, einen Schock abzugeben
NTE|21||02 Feb 2012 00:00 - Alarmstufe Rot - Hochspannung an Schockelektrode erkannt
während des Ladens
NTE|22||02 Feb 2012 00:00 - Alarmstufe Rot - Elektrokauter-Schutz ist aktiv.
NTE|23||02 Feb 2012 00:00 - Alarmstufe Gelb - VT-Episode aufgetreten (V>A).
```

NTE|24||02 Feb 2012 00:00 - Alarmstufe Gelb - Brady-Modus des Geräts ist AUS.  
Brady-Therapie wird nicht abgegeben.

NTE|25||02 Feb 2012 00:00 - Alarmstufe Gelb - Linksventrikuläre  
Stimulationselektrodenimpedanz außerhalb des Bereichs.

NTE|26||02 Feb 2012 00:00 - Alarmstufe Gelb - Atriale Stimulationselektrodenimpedanz  
außerhalb des Bereichs.

NTE|27||02 Feb 2012 00:00 - Alarmstufe Gelb - Rechtsventrikuläre intrinsische Amplitude  
außerhalb des Bereichs.

NTE|28||02 Feb 2012 00:00 - Alarmstufe Gelb - Intrinsische Amplitude außerhalb des  
Bereichs.

NTE|29||02 Feb 2012 00:00 - Alarmstufe Gelb - Linksventrikuläre intrinsische Amplitude  
außerhalb des Bereichs.

NTE|30||02 Feb 2012 00:00 - Alarmstufe Gelb - Atriale intrinsische Amplitude außerhalb  
des Bereichs.

NTE|31||02 Feb 2012 00:00 - Alarmstufe Rot - Rechtsventrikuläre  
Stimulationselektrodenimpedanz außerhalb des Bereichs.

NTE|32||02 Feb 2012 00:00 - Alarmstufe Rot - Stimulationselektrodenimpedanz außerhalb  
des Bereichs.

NTE|33||02 Feb 2012 00:00 - Alarmstufe Gelb - Ventrikuläre Schocktherapie abgegeben,  
um Arrhythmie zu beenden.

NTE|34||02 Feb 2012 00:00 - Alarmstufe Gelb - Episode beschleunigter ventrikulärer  
Arrhythmie.

NTE|35||02 Feb 2012 00:00 - Alarmstufe Rot - V-Tachy-Modus auf anderen Wert als  
Überwachung + Therapie gesetzt

NTE|36||02 Feb 2012 00:00 - Alarmstufe Rot - Benachrichtigung zur Elektrodenüberprüfung  
aufgrund einer abrupten Änderung der rechtsventrikulären  
Stimulationselektrodenimpedanz in den letzten 7 Tagen.

NTE|37||02 Feb 2012 00:00 - Alarmstufe Rot - Benachrichtigung zur Elektrodenüberprüfung  
aufgrund einer Episode mit möglichem rechtsventrikulärem nicht-physiologischem  
Signal.

NTE|38||02 Feb 2012 00:00 - Alarmstufe Gelb - Linksventrikulärer automatischer  
Reizschwellenwert > programmierte Amplitude oder ausgesetzt.

OBX|1|ST|739536^MDC\_IDC\_EPISODE\_ID^MDC|1|MRT-16|||||F

OBX|2|DTM|739552^MDC\_IDC\_EPISODE\_DTM^MDC|1|200101020304|||||F

OBX|3|CWE|739568^MDC\_IDC\_EPISODE\_TYPE^MDC|1|754888  
^MDC\_IDC\_ENUM\_EPISODE\_TYPE\_Epis\_Other^MDC|||||F

OBX|4|CWE|739600^MDC\_IDC\_EPISODE\_VENDOR\_TYPE^MDC|1|||||F

OBX|5|NM|739712^MDC\_IDC\_EPISODE\_DURATION^MDC|1|100|s|||||F

OBX|6|ST|739680^MDC\_IDC\_EPISODE\_DETECTION\_THERAPY\_DETAILS  
^MDC|1|MRT-Schutz-Modus|||||F

OBX|7|ST|739536^MDC\_IDC\_EPISODE\_ID^MDC|2|LVAT-15|||||F

OBX|8|DTM|739552^MDC\_IDC\_EPISODE\_DTM^MDC|2|200101020304|||||F

OBX|9|CWE|739568^MDC\_IDC\_EPISODE\_TYPE^MDC|2|754888  
^MDC\_IDC\_ENUM\_EPISODE\_TYPE\_Epis\_Other^MDC|||||F

OBX|10|CWE|739600^MDC\_IDC\_EPISODE\_VENDOR\_TYPE^MDC|2|||||F

OBX|11|NM|739712^MDC\_IDC\_EPISODE\_DURATION^MDC|2|100|s|||||F

OBX|12|ST|739680^MDC\_IDC\_EPISODE\_DETECTION\_THERAPY\_DETAILS^MDC|2|LV Auto|||||F

OBX|13|ST|739536^MDC\_IDC\_EPISODE\_ID^MDC|3|RVAT-14|||||F

OBX|14|DTM|739552^MDC\_IDC\_EPISODE\_DTM^MDC|3|200101020304|||||F

OBX|15|CWE|739568^MDC\_IDC\_EPISODE\_TYPE^MDC|3|754888  
^MDC\_IDC\_ENUM\_EPISODE\_TYPE\_Epis\_Other^MDC|||||F

OBX|16|CWE|739600^MDC\_IDC\_EPISODE\_VENDOR\_TYPE^MDC|3|||||F

OBX|17|NM|739712^MDC\_IDC\_EPISODE\_DURATION^MDC|3|100|s|||||F

OBX|18|ST|739680^MDC\_IDC\_EPISODE\_DETECTION\_THERAPY\_DETAILS^MDC|3|RV Autom.|||||F

OBX|19|ST|739536^MDC\_IDC\_EPISODE\_ID^MDC|4|APM-13|||||F

OBX|20|DTM|739552^MDC\_IDC\_EPISODE\_DTM^MDC|4|200101020304|||||F

OBX|21|CWE|739568^MDC\_IDC\_EPISODE\_TYPE^MDC|4|754886  
^MDC\_IDC\_ENUM\_EPISODE\_TYPE\_Epis\_PeriodicEGM^MDC|||||F

OBX|22|CWE|739600^MDC\_IDC\_EPISODE\_VENDOR\_TYPE^MDC|4|771085  
^MDC\_IDC\_ENUM\_EPISODE\_VENDOR\_TYPE\_BSX-Epis\_APMRT^MDC|||||F

OBX|23|ST|739680^MDC\_IDC\_EPISODE\_DETECTION\_THERAPY\_DETAILS^MDC|4|Eingangs-EGM|||||F

OBX|24|ST|739536^MDC\_IDC\_EPISODE\_ID^MDC|5|PTM-12|||||F

OBX|25|DTM|739552^MDC\_IDC\_EPISODE\_DTM^MDC|5|200101020304|||||F

OBX|26|CWE|739568^MDC\_IDC\_EPISODE\_TYPE^MDC|5|754887  
^MDC\_IDC\_ENUM\_EPISODE\_TYPE\_Epis\_PatientActivated^MDC|||||F

OBX|27|CWE|739600^MDC\_IDC\_EPISODE\_VENDOR\_TYPE^MDC|5|771080  
 ^MDC\_IDC\_ENUM\_EPISODE\_VENDOR\_TYPE\_BSX-Epis\_PTM^MDC|||||F  
 OBX|28|NM|739648^MDC\_IDC\_EPISODE\_VENTRICULAR\_INTERVAL\_AT\_DETECTION  
 ^MDC|5|30000|ms|||||F  
 OBX|29|NM|739712^MDC\_IDC\_EPISODE\_DURATION^MDC|5|100|s|||||F  
 OBX|30|ST|739680^MDC\_IDC\_EPISODE\_DETECTION\_THERAPY\_DETAILS^MDC|5|PTM|||||F  
 OBX|31|ST|739536^MDC\_IDC\_EPISODE\_ID^MDC|6|RAAT-11|||||F  
 OBX|32|DTM|739552^MDC\_IDC\_EPISODE\_DTM^MDC|6|200101020304|||||F  
 OBX|33|CWE|739568^MDC\_IDC\_EPISODE\_TYPE^MDC|6|754888  
 ^MDC\_IDC\_ENUM\_EPISODE\_TYPE\_Epis\_Other^MDC|||||F  
 OBX|34|CWE|739600^MDC\_IDC\_EPISODE\_VENDOR\_TYPE^MDC|6|||||F  
 OBX|35|NM|739712^MDC\_IDC\_EPISODE\_DURATION^MDC|6|100|s|||||F  
 OBX|36|ST|739680^MDC\_IDC\_EPISODE\_DETECTION\_THERAPY\_DETAILS^MDC|6|RA Auto|||||F  
 OBX|37|ST|739536^MDC\_IDC\_EPISODE\_ID^MDC|7|RYTHMIQ-10|||||F  
 OBX|38|DTM|739552^MDC\_IDC\_EPISODE\_DTM^MDC|7|200101020304|||||F  
 OBX|39|CWE|739568^MDC\_IDC\_EPISODE\_TYPE^MDC|7|754888  
 ^MDC\_IDC\_ENUM\_EPISODE\_TYPE\_Epis\_Other^MDC|||||F  
 OBX|40|CWE|739600^MDC\_IDC\_EPISODE\_VENDOR\_TYPE^MDC|7|771084  
 ^MDC\_IDC\_ENUM\_EPISODE\_VENDOR\_TYPE\_BSX-Epis\_RMS^MDC|||||F  
 OBX|41|NM|739648  
 ^MDC\_IDC\_EPISODE\_VENTRICULAR\_INTERVAL\_AT\_DETECTION^MDC|7|30000|ms|||||F  
 OBX|42|NM|739712^MDC\_IDC\_EPISODE\_DURATION^MDC|7|100|s|||||F  
 OBX|43|ST|739680^MDC\_IDC\_EPISODE\_DETECTION\_THERAPY\_DETAILS^MDC|7|RYTHMIQ|||||F  
 OBX|44|ST|739536^MDC\_IDC\_EPISODE\_ID^MDC|8|RMS-9|||||F  
 OBX|45|DTM|739552^MDC\_IDC\_EPISODE\_DTM^MDC|8|200101020304|||||F  
 OBX|46|CWE|739568^MDC\_IDC\_EPISODE\_TYPE^MDC|8|754888  
 ^MDC\_IDC\_ENUM\_EPISODE\_TYPE\_Epis\_Other^MDC|||||F  
 OBX|47|CWE|739600^MDC\_IDC\_EPISODE\_VENDOR\_TYPE^MDC|8|771084  
 ^MDC\_IDC\_ENUM\_EPISODE\_VENDOR\_TYPE\_BSX-Epis\_RMS^MDC|||||F  
 OBX|48|NM|739648  
 ^MDC\_IDC\_EPISODE\_VENTRICULAR\_INTERVAL\_AT\_DETECTION^MDC|8|30000|ms|||||F  
 OBX|49|NM|739712^MDC\_IDC\_EPISODE\_DURATION^MDC|8|100|s|||||F  
 OBX|50|ST|739680^MDC\_IDC\_EPISODE\_DETECTION\_THERAPY\_DETAILS^MDC|8|RMS|||||F  
 OBX|51|ST|739536^MDC\_IDC\_EPISODE\_ID^MDC|9|V-8|||||F  
 OBX|52|DTM|739552^MDC\_IDC\_EPISODE\_DTM^MDC|9|200101020304|||||F  
 OBX|53|CWE|739568^MDC\_IDC\_EPISODE\_TYPE  
 ^MDC|9|754881^MDC\_IDC\_ENUM\_EPISODE\_TYPE\_Epis\_VF^MDC|||||F  
 OBX|54|CWE|739600^MDC\_IDC\_EPISODE\_VENDOR\_TYPE  
 ^MDC|9|771073^MDC\_IDC\_ENUM\_EPISODE\_VENDOR\_TYPE\_BSX-Epis\_VF^MDC|||||F  
 OBX|55|CWE|739584^MDC\_IDC\_EPISODE\_TYPE\_INDUCED^MDC|9|755329  
 ^MDC\_IDC\_ENUM\_EPISODE\_TYPE\_INDUCED\_YES^MDC|||||F  
 OBX|56|NM|739648  
 ^MDC\_IDC\_EPISODE\_VENTRICULAR\_INTERVAL\_AT\_DETECTION^MDC|9|30000|ms|||||F  
 OBX|57|NM|739712^MDC\_IDC\_EPISODE\_DURATION^MDC|9|100|s|||||F  
 OBX|58|ST|739680  
 ^MDC\_IDC\_EPISODE\_DETECTION\_THERAPY\_DETAILS^MDC|9|VF ATPx1, 0,1J, 0,2J, 31Jx2|||||F  
 OBX|59|ST|739536^MDC\_IDC\_EPISODE\_ID^MDC|10|PMT-7|||||F  
 OBX|60|DTM|739552^MDC\_IDC\_EPISODE\_DTM^MDC|10|200101020304|||||F  
 OBX|61|CWE|739568^MDC\_IDC\_EPISODE\_TYPE^MDC|10|754888  
 ^MDC\_IDC\_ENUM\_EPISODE\_TYPE\_Epis\_Other^MDC|||||F  
 OBX|62|CWE|739600^MDC\_IDC\_EPISODE\_VENDOR\_TYPE^MDC|10|771079  
 ^MDC\_IDC\_ENUM\_EPISODE\_VENDOR\_TYPE\_BSX-Epis\_PMT^MDC|||||F  
 OBX|63|NM|739648^MDC\_IDC\_EPISODE\_VENTRICULAR\_INTERVAL\_AT\_DETECTION  
 ^MDC|10|30000|ms|||||F  
 OBX|64|NM|739712^MDC\_IDC\_EPISODE\_DURATION^MDC|10|100|s|||||F  
 OBX|65|ST|739680^MDC\_IDC\_EPISODE\_DETECTION\_THERAPY\_DETAILS^MDC|10|PMT|||||F  
 OBX|66|ST|739536^MDC\_IDC\_EPISODE\_ID^MDC|11|V-6|||||F  
 OBX|67|DTM|739552^MDC\_IDC\_EPISODE\_DTM^MDC|11|200101020304|||||F  
 OBX|68|CWE|739568^MDC\_IDC\_EPISODE\_TYPE^MDC|11|754882  
 ^MDC\_IDC\_ENUM\_EPISODE\_TYPE\_Epis\_VT^MDC|||||F  
 OBX|69|CWE|739600^MDC\_IDC\_EPISODE\_VENDOR\_TYPE^MDC|11|771075  
 ^MDC\_IDC\_ENUM\_EPISODE\_VENDOR\_TYPE\_BSX-Epis\_VT-1^MDC|||||F  
 OBX|70|CWE|739584^MDC\_IDC\_EPISODE\_TYPE\_INDUCED^MDC|11|755329  
 ^MDC\_IDC\_ENUM\_EPISODE\_TYPE\_INDUCED\_YES^MDC|||||F

OBX|71|NM|739648^MDC\_IDC\_EPISODE\_VENTRICULAR\_INTERVAL\_AT\_DETECTION  
 ^MDC|11|30000|ms||||F  
 OBX|72|NM|739712^MDC\_IDC\_EPISODE\_DURATION^MDC|11|100|s||||F  
 OBX|73|ST|739680^MDC\_IDC\_EPISODE\_DETECTION\_THERAPY\_DETAILS  
 ^MDC|11|VT-1 ATPx1, 0,1J, 0,2J, 31Jx2||||F  
 OBX|74|ST|739536^MDC\_IDC\_EPISODE\_ID^MDC|12|ATR-5||||F  
 OBX|75|DTM|739552^MDC\_IDC\_EPISODE\_DTM^MDC|12|200101020304||||F  
 OBX|76|CWE|739568^MDC\_IDC\_EPISODE\_TYPE^MDC|12|754883  
 ^MDC\_IDC\_ENUM\_EPISODE\_TYPE\_Epis\_ATAF^MDC|12|754883|F  
 OBX|77|CWE|739600^MDC\_IDC\_EPISODE\_VENDOR\_TYPE^MDC|12|771078  
 ^MDC\_IDC\_ENUM\_EPISODE\_VENDOR\_TYPE\_BSX-Epis\_ATR^MDC|12|771078|F  
 OBX|78|NM|739616^MDC\_IDC\_EPISODE\_ATRIAL\_INTERVAL\_AT\_DETECTION^MDC|12|20000|ms||||F  
 OBX|79|NM|739712^MDC\_IDC\_EPISODE\_DURATION^MDC|12|100|s||||F  
 OBX|80|ST|739680^MDC\_IDC\_EPISODE\_DETECTION\_THERAPY\_DETAILS^MDC|12|ATR||||F  
 OBX|81|ST|739536^MDC\_IDC\_EPISODE\_ID^MDC|13|V-4||||F  
 OBX|82|DTM|739552^MDC\_IDC\_EPISODE\_DTM^MDC|13|200101020304||||F  
 OBX|83|CWE|739568^MDC\_IDC\_EPISODE\_TYPE^MDC|13|754882  
 ^MDC\_IDC\_ENUM\_EPISODE\_TYPE\_Epis\_VT^MDC|13|754882|F  
 OBX|84|CWE|739600^MDC\_IDC\_EPISODE\_VENDOR\_TYPE^MDC|13|771077  
 ^MDC\_IDC\_ENUM\_EPISODE\_VENDOR\_TYPE\_BSX-Epis\_NSVT^MDC|13|771077|F  
 OBX|85|CWE|739584^MDC\_IDC\_EPISODE\_TYPE\_INDUCED^MDC|13|755329  
 ^MDC\_IDC\_ENUM\_EPISODE\_TYPE\_INDUCED\_YES^MDC|13|755329|F  
 OBX|86|NM|739648^MDC\_IDC\_EPISODE\_VENTRICULAR\_INTERVAL\_AT\_DETECTION  
 ^MDC|13|30000|ms||||F  
 OBX|87|NM|739712^MDC\_IDC\_EPISODE\_DURATION^MDC|13|100|s||||F  
 OBX|88|ST|739680^MDC\_IDC\_EPISODE\_DETECTION\_THERAPY\_DETAILS^MDC|13|NonSustV||||F  
 OBX|89|ST|739536^MDC\_IDC\_EPISODE\_ID^MDC|14|V-3||||F  
 OBX|90|DTM|739552^MDC\_IDC\_EPISODE\_DTM^MDC|14|200101020304||||F  
 OBX|91|CWE|739568^MDC\_IDC\_EPISODE\_TYPE^MDC|14|754882  
 ^MDC\_IDC\_ENUM\_EPISODE\_TYPE\_Epis\_VT^MDC|14|754882|F  
 OBX|92|CWE|739600^MDC\_IDC\_EPISODE\_VENDOR\_TYPE^MDC|14|771074  
 ^MDC\_IDC\_ENUM\_EPISODE\_VENDOR\_TYPE\_BSX-Epis\_VT^MDC|14|771074|F  
 OBX|93|CWE|739584^MDC\_IDC\_EPISODE\_TYPE\_INDUCED^MDC|14|755329  
 ^MDC\_IDC\_ENUM\_EPISODE\_TYPE\_INDUCED\_YES^MDC|14|755329|F  
 OBX|94|NM|739648^MDC\_IDC\_EPISODE\_VENTRICULAR\_INTERVAL\_AT\_DETECTION  
 ^MDC|14|30000|ms||||F  
 OBX|95|NM|739712^MDC\_IDC\_EPISODE\_DURATION^MDC|14|100|s||||F  
 OBX|96|ST|739680^MDC\_IDC\_EPISODE\_DETECTION\_THERAPY\_DETAILS  
 ^MDC|14|VT ATPx1, 0,1J, 0,2J, 31Jx2||||F  
 OBX|97|ST|739536^MDC\_IDC\_EPISODE\_ID^MDC|15|SBR-2||||F  
 OBX|98|DTM|739552^MDC\_IDC\_EPISODE\_DTM^MDC|15|200101020304||||F  
 OBX|99|CWE|739568^MDC\_IDC\_EPISODE\_TYPE^MDC|15|754888  
 ^MDC\_IDC\_ENUM\_EPISODE\_TYPE\_Epis\_Other^MDC|15|754888|F  
 OBX|100|CWE|739600^MDC\_IDC\_EPISODE\_VENDOR\_TYPE^MDC|15|771077|F  
 OBX|101|NM|739616^MDC\_IDC\_EPISODE\_ATRIAL\_INTERVAL\_AT\_DETECTION^MDC|15|20000|ms||||F  
 OBX|102|NM|739712^MDC\_IDC\_EPISODE\_DURATION^MDC|15|100|s||||F  
 OBX|103|ST|739680^MDC\_IDC\_EPISODE\_DETECTION\_THERAPY\_DETAILS^MDC|15|SBR||||F  
 OBX|104|ST|739536^MDC\_IDC\_EPISODE\_ID^MDC|16|V-1||||F  
 OBX|105|DTM|739552^MDC\_IDC\_EPISODE\_DTM^MDC|16|200101020304||||F  
 OBX|106|CWE|739568^MDC\_IDC\_EPISODE\_TYPE^MDC|16|754888  
 ^MDC\_IDC\_ENUM\_EPISODE\_TYPE\_Epis\_Other^MDC|16|754888|F  
 OBX|107|CWE|739600^MDC\_IDC\_EPISODE\_VENDOR\_TYPE^MDC|16|771077|F  
 OBX|108|CWE|739584^MDC\_IDC\_EPISODE\_TYPE\_INDUCED^MDC|16|755329  
 ^MDC\_IDC\_ENUM\_EPISODE\_TYPE\_INDUCED\_YES^MDC|16|755329|F  
 OBX|109|NM|739648^MDC\_IDC\_EPISODE\_VENTRICULAR\_INTERVAL\_AT\_DETECTION  
 ^MDC|16|30000|ms||||F  
 OBX|110|NM|739712^MDC\_IDC\_EPISODE\_DURATION^MDC|16|100|s||||F  
 OBX|111|ST|739680^MDC\_IDC\_EPISODE\_DETECTION\_THERAPY\_DETAILS  
 ^MDC|16|Bef. V Therapie abgegeben||||F  
 OBX|112|ED|18750-0^Cardiac Electrophysiology Report^LN||Application^PDF^  
 ^Base64^{encoded PDF included here}||||F||201001151330-0500  
 OBX|113|ED|18750-0^Cardiac Electrophysiology Report^LN|4|Application^PDF^  
 ^Base64^{encoded PDF included here}||||F||201001151330-0500  
 OBX|114|CWE|720897^MDC\_IDC\_DEV\_TYPE^MDC||753665^MDC\_IDC\_ENUM\_DEV\_TYPE\_IPG^MDC|753665|F  
 OBX|115|ST|720898^MDC\_IDC\_DEV\_MODEL^MDC||N119|720898|F

OBX|116|ST|720899^MDC\_IDC\_DEV\_SERIAL^MDC||900141|||||F  
 OBX|117|CWE|720900^MDC\_IDC\_DEV\_MFG^MDC||753732^MDC\_IDC\_ENUM\_MFG\_BSX^MDC|||||F  
 OBX|118|DTM|720901^MDC\_IDC\_DEV\_IMPLANT\_DT^MDC||20120513|||||F  
 OBX|119|ST|720961^MDC\_IDC\_LEAD\_MODEL^MDC|1|12345|||||F  
 OBX|120|ST|720962^MDC\_IDC\_LEAD\_SERIAL^MDC|1|6789|||||F  
 OBX|121|CWE|720963^MDC\_IDC\_LEAD\_MFG^MDC|1|753731^MDC\_IDC\_ENUM\_MFG\_BIO^MDC|||||F  
 OBX|122|CWE|720965^MDC\_IDC\_LEAD\_POLARITY\_TYPE^MDC|1|753793  
 ^MDC\_IDC\_ENUM\_LEAD\_POLARITY\_TYPE\_UNI^MDC|||||F  
 OBX|123|DTM|720964^MDC\_IDC\_LEAD\_IMPLANT\_DT^MDC|1|201205|||||F  
 OBX|124|CWE|720966^MDC\_IDC\_LEAD\_LOCATION^MDC|1|753858  
 ^MDC\_IDC\_ENUM\_LEAD\_LOCATION\_CHAMBER\_LV^MDC|||||F  
 OBX|125|CWE|720967^MDC\_IDC\_LEAD\_LOCATION\_DETAIL\_1^MDC|1|753922  
 ^MDC\_IDC\_ENUM\_LEAD\_LOCATION\_DETAIL\_Apex^MDC|||||F  
 OBX|126|CWE|720968^MDC\_IDC\_LEAD\_LOCATION\_DETAIL\_2^MDC|1|753925  
 ^MDC\_IDC\_ENUM\_LEAD\_LOCATION\_DETAIL\_VenaCava^MDC|||||F  
 OBX|127|ST|720961^MDC\_IDC\_LEAD\_MODEL^MDC|2|12345|||||F  
 OBX|128|ST|720962^MDC\_IDC\_LEAD\_SERIAL^MDC|2|6789|||||F  
 OBX|129|CWE|720963^MDC\_IDC\_LEAD\_MFG^MDC|2|753731^MDC\_IDC\_ENUM\_MFG\_BIO^MDC|||||F  
 OBX|130|CWE|720965^MDC\_IDC\_LEAD\_POLARITY\_TYPE^MDC|2|753793  
 ^MDC\_IDC\_ENUM\_LEAD\_POLARITY\_TYPE\_UNI^MDC|||||F  
 OBX|131|DTM|720964^MDC\_IDC\_LEAD\_IMPLANT\_DT^MDC|2|201205|||||F  
 OBX|132|CWE|720966^MDC\_IDC\_LEAD\_LOCATION^MDC|2|753858  
 ^MDC\_IDC\_ENUM\_LEAD\_LOCATION\_CHAMBER\_LV^MDC|||||F  
 OBX|133|CWE|720967^MDC\_IDC\_LEAD\_LOCATION\_DETAIL\_1^MDC|2|753922  
 ^MDC\_IDC\_ENUM\_LEAD\_LOCATION\_DETAIL\_Apex^MDC|||||F  
 OBX|134|CWE|720968^MDC\_IDC\_LEAD\_LOCATION\_DETAIL\_2^MDC|2|753925  
 ^MDC\_IDC\_ENUM\_LEAD\_LOCATION\_DETAIL\_VenaCava^MDC|||||F  
 OBX|135|ST|720961^MDC\_IDC\_LEAD\_MODEL^MDC|3|12345|||||F  
 OBX|136|ST|720962^MDC\_IDC\_LEAD\_SERIAL^MDC|3|6789|||||F  
 OBX|137|CWE|720963^MDC\_IDC\_LEAD\_MFG^MDC|3|753731^MDC\_IDC\_ENUM\_MFG\_BIO^MDC|||||F  
 OBX|138|CWE|720965^MDC\_IDC\_LEAD\_POLARITY\_TYPE^MDC|3|753793  
 ^MDC\_IDC\_ENUM\_LEAD\_POLARITY\_TYPE\_UNI^MDC|||||F  
 OBX|139|DTM|720964^MDC\_IDC\_LEAD\_IMPLANT\_DT^MDC|3|201205|||||F  
 OBX|140|CWE|720966^MDC\_IDC\_LEAD\_LOCATION^MDC|3|753858  
 ^MDC\_IDC\_ENUM\_LEAD\_LOCATION\_CHAMBER\_LV^MDC|||||F  
 OBX|141|CWE|720967^MDC\_IDC\_LEAD\_LOCATION\_DETAIL\_1  
 ^MDC|3|753922^MDC\_IDC\_ENUM\_LEAD\_LOCATION\_DETAIL\_Apex^MDC|||||F  
 OBX|142|CWE|720968^MDC\_IDC\_LEAD\_LOCATION\_DETAIL\_2^MDC|3|753925  
 ^MDC\_IDC\_ENUM\_LEAD\_LOCATION\_DETAIL\_VenaCava^MDC|||||F  
 OBX|143|ST|720961^MDC\_IDC\_LEAD\_MODEL^MDC|4|12345|||||F  
 OBX|144|ST|720962^MDC\_IDC\_LEAD\_SERIAL^MDC|4|6789|||||F  
 OBX|145|CWE|720963^MDC\_IDC\_LEAD\_MFG^MDC|4|753731^MDC\_IDC\_ENUM\_MFG\_BIO^MDC|||||F  
 OBX|146|CWE|720965^MDC\_IDC\_LEAD\_POLARITY\_TYPE^MDC|4|753793  
 ^MDC\_IDC\_ENUM\_LEAD\_POLARITY\_TYPE\_UNI^MDC|||||F  
 OBX|147|DTM|720964^MDC\_IDC\_LEAD\_IMPLANT\_DT^MDC|4|201205|||||F  
 OBX|148|CWE|720966^MDC\_IDC\_LEAD\_LOCATION^MDC|4|753858  
 ^MDC\_IDC\_ENUM\_LEAD\_LOCATION\_CHAMBER\_LV^MDC|||||F  
 OBX|149|CWE|720967^MDC\_IDC\_LEAD\_LOCATION\_DETAIL\_1  
 ^MDC|4|753922^MDC\_IDC\_ENUM\_LEAD\_LOCATION\_DETAIL\_Apex^MDC|||||F  
 OBX|150|CWE|720968^MDC\_IDC\_LEAD\_LOCATION\_DETAIL\_2^MDC|4|753925  
 ^MDC\_IDC\_ENUM\_LEAD\_LOCATION\_DETAIL\_VenaCava^MDC|||||F  
 OBX|151|ST|720961^MDC\_IDC\_LEAD\_MODEL^MDC|5|12345|||||F  
 OBX|152|ST|720962^MDC\_IDC\_LEAD\_SERIAL^MDC|5|6789|||||F  
 OBX|153|CWE|720963^MDC\_IDC\_LEAD\_MFG^MDC|5|753731  
 ^MDC\_IDC\_ENUM\_MFG\_BIO^MDC|||||F  
 OBX|154|CWE|720965^MDC\_IDC\_LEAD\_POLARITY\_TYPE^MDC|5|753793  
 ^MDC\_IDC\_ENUM\_LEAD\_POLARITY\_TYPE\_UNI^MDC|||||F  
 OBX|155|DTM|720964^MDC\_IDC\_LEAD\_IMPLANT\_DT^MDC|5|201205|||||F  
 OBX|156|CWE|720966^MDC\_IDC\_LEAD\_LOCATION^MDC|5|753858  
 ^MDC\_IDC\_ENUM\_LEAD\_LOCATION\_CHAMBER\_LV^MDC|||||F  
 OBX|157|CWE|720967^MDC\_IDC\_LEAD\_LOCATION\_DETAIL\_1^MDC|5|753922  
 ^MDC\_IDC\_ENUM\_LEAD\_LOCATION\_DETAIL\_Apex^MDC|||||F  
 OBX|158|CWE|720968^MDC\_IDC\_LEAD\_LOCATION\_DETAIL\_2^MDC|5|753925  
 ^MDC\_IDC\_ENUM\_LEAD\_LOCATION\_DETAIL\_VenaCava^MDC|||||F  
 OBX|159|ST|720961^MDC\_IDC\_LEAD\_MODEL^MDC|6|12345|||||F

OBX|160|ST|720962^MDC\_IDC\_LEAD\_SERIAL^MDC|6|6789|||||F  
 OBX|161|CWE|720963^MDC\_IDC\_LEAD\_MFG^MDC|6|753731^MDC\_IDC\_ENUM\_MFG\_BIO^MDC|||||F  
 OBX|162|CWE|720965^MDC\_IDC\_LEAD\_POLARITY\_TYPE^MDC|6|753793  
 ^MDC\_IDC\_ENUM\_LEAD\_POLARITY\_TYPE\_UNI^MDC|||||F  
 OBX|163|DTM|720964^MDC\_IDC\_LEAD\_IMPLANT\_DT^MDC|6|201205|||||F  
 OBX|164|CWE|720966^MDC\_IDC\_LEAD\_LOCATION^MDC|6|753858  
 ^MDC\_IDC\_ENUM\_LEAD\_LOCATION\_CHAMBER\_LV^MDC|||||F  
 OBX|165|CWE|720967^MDC\_IDC\_LEAD\_LOCATION\_DETAIL\_1^MDC|6|753922  
 ^MDC\_IDC\_ENUM\_LEAD\_LOCATION\_DETAIL\_Apex^MDC|||||F  
 OBX|166|CWE|720968^MDC\_IDC\_LEAD\_LOCATION\_DETAIL\_2^MDC|6|753925  
 ^MDC\_IDC\_ENUM\_LEAD\_LOCATION\_DETAIL\_VenaCava^MDC|||||F  
 OBX|167|DTM|721025^MDC\_IDC\_SESS\_DTM^MDC||201001021310-0600|||||F  
 OBX|168|CWE|721026^MDC\_IDC\_SESS\_TYPE^MDC||754052  
 ^MDC\_IDC\_ENUM\_SESS\_TYPE\_RemoteDeviceInitiated^MDC|||||F  
 OBX|169|ST|721033^MDC\_IDC\_SESS\_CLINIC\_NAME  
 ^MDC|abcdefghijklmnopqrstuvwxyzabcdefghijklmnopqrstuvw|||F  
 OBX|170|DTM|721216^MDC\_IDC\_MSMT\_BATTERY\_DTM^MDC||201205221755+0000|||||F  
 OBX|171|CWE|721280^MDC\_IDC\_MSMT\_BATTERY\_STATUS^MDC||754113  
 ^MDC\_IDC\_ENUM\_BATTERY\_STATUS\_BOS^MDC|||||F  
 OBX|172|NM|721472^MDC\_IDC\_MSMT\_BATTERY\_REMAINING\_LONGEVITY^MDC||132|mo||>|||F  
 OBX|173|NM|721536^MDC\_IDC\_MSMT\_BATTERY\_REMAINING\_PERCENTAGE^MDC||100|%|||F  
 OBX|174|DTM|721664^MDC\_IDC\_MSMT\_CAP\_CHARGE\_DTM^MDC||201205221755|||||F  
 OBX|175|NM|721728^MDC\_IDC\_MSMT\_CAP\_CHARGE\_TIME^MDC||3.0|s|||F  
 OBX|176|CWE|721856^MDC\_IDC\_MSMT\_CAP\_CHARGE\_TYPE^MDC||754178  
 ^MDC\_IDC\_ENUM\_CHARGE\_TYPE\_Reformation^MDC|||||F  
 OBX|177|DTM|721921^MDC\_IDC\_MSMT\_LEADCHNL\_RA\_DTM\_START^MDC||20121211|||||F  
 OBX|178|DTM|721922^MDC\_IDC\_MSMT\_LEADCHNL\_RA\_DTM\_END^MDC||20121211|||||F  
 OBX|179|CWE|721984^MDC\_IDC\_MSMT\_LEADCHNL\_RA\_LEAD\_CHANNEL\_STATUS^MDC||754241  
 ^MDC\_IDC\_ENUM\_CHANNEL\_STATUS\_CheckLead^MDC|||||F  
 OBX|180|NM|722051  
 ^MDC\_IDC\_MSMT\_LEADCHNL\_RA\_SENSING\_INTR\_AMPL\_MEAN^MDC||mV||NAV|||F||20121211  
 OBX|181|DTM|721925^MDC\_IDC\_MSMT\_LEADCHNL\_RV\_DTM\_START^MDC||19990102|||||F  
 OBX|182|DTM|721926^MDC\_IDC\_MSMT\_LEADCHNL\_RV\_DTM\_END^MDC||20121211|||||F  
 OBX|183|CWE|721985^MDC\_IDC\_MSMT\_LEADCHNL\_RV\_LEAD\_CHANNEL\_STATUS^MDC||754241  
 ^MDC\_IDC\_ENUM\_CHANNEL\_STATUS\_CheckLead^MDC|||||F  
 OBX|184|NM|722055  
 ^MDC\_IDC\_MSMT\_LEADCHNL\_RV\_SENSING\_INTR\_AMPL\_MEAN^MDC||0.1|mV||<|||F||20121211  
 OBX|185|DTM|721933^MDC\_IDC\_MSMT\_LEADCHNL\_LV\_DTM\_START^MDC||19990102|||||F  
 OBX|186|DTM|721934^MDC\_IDC\_MSMT\_LEADCHNL\_LV\_DTM\_END^MDC||20121211|||||F  
 OBX|187|CWE|721987^MDC\_IDC\_MSMT\_LEADCHNL\_LV\_LEAD\_CHANNEL\_STATUS^MDC||754241  
 ^MDC\_IDC\_ENUM\_CHANNEL\_STATUS\_CheckLead^MDC|||||F  
 OBX|188|NM|722063^MDC\_IDC\_MSMT\_LEADCHNL\_LV\_SENSING\_INTR\_AMPL\_MEAN  
 ^MDC||25.0|mV||>|||F||20121211  
 OBX|189|CWE|722112^MDC\_IDC\_MSMT\_LEADCHNL\_RA\_SENSING\_POLARITY^MDC||754305  
 ^MDC\_IDC\_ENUM\_POLARITY\_UNI^MDC|||||F  
 OBX|190|CWE|722113^MDC\_IDC\_MSMT\_LEADCHNL\_RV\_SENSING\_POLARITY^MDC||754306  
 ^MDC\_IDC\_ENUM\_POLARITY\_BI^MDC|||||F  
 OBX|191|CWE|722115^MDC\_IDC\_MSMT\_LEADCHNL\_LV\_SENSING\_POLARITY^MDC|||||OFF|||F  
 OBX|192|NM|722176^MDC\_IDC\_MSMT\_LEADCHNL\_RA\_PACING\_THRESHOLD\_AMPLITUDE  
 ^MDC||V||NAV|||F||20121211  
 OBX|193|NM|722177^MDC\_IDC\_MSMT\_LEADCHNL\_RV\_PACING\_THRESHOLD\_AMPLITUDE  
 ^MDC||3.0|V||>|||F||20121211  
 OBX|194|NM|722179^MDC\_IDC\_MSMT\_LEADCHNL\_LV\_PACING\_THRESHOLD\_AMPLITUDE  
 ^MDC||0.0|V|||F||20121210  
 OBX|195|NM|722240^MDC\_IDC\_MSMT\_LEADCHNL\_RA\_PACING\_THRESHOLD\_PULSEWIDTH  
 ^MDC||ms||NAV|||F||19990102  
 OBX|196|NM|722241^MDC\_IDC\_MSMT\_LEADCHNL\_RV\_PACING\_THRESHOLD\_PULSEWIDTH  
 ^MDC||0.4|ms|||F||19990102  
 OBX|197|NM|722243^MDC\_IDC\_MSMT\_LEADCHNL\_LV\_PACING\_THRESHOLD\_PULSEWIDTH  
 ^MDC||0.4|ms|||F||19990102  
 OBX|198|CWE|722304^MDC\_IDC\_MSMT\_LEADCHNL\_RA\_PACING\_THRESHOLD\_MEASUREMENT\_METHOD  
 ^MDC||754369^MDC\_IDC\_ENUM\_MEASUREMENT\_METHOD\_ProgrammerManual^MDC|||||F  
 OBX|199|CWE|722305^MDC\_IDC\_MSMT\_LEADCHNL\_RV\_PACING\_THRESHOLD\_MEASUREMENT\_METHOD  
 ^MDC||754369^MDC\_IDC\_ENUM\_MEASUREMENT\_METHOD\_ProgrammerManual^MDC|||||F

OBX|200|CWE|722307^MDC\_IDC\_MSMT\_LEADCHNL\_LV\_PACING\_THRESHOLD\_MEASUREMENT\_METHOD  
^MDC|754369^MDC\_IDC\_ENUM\_MEASUREMENT\_METHOD\_ProgrammerManual^MDC||||F

OBX|201|CWE|722368^MDC\_IDC\_MSMT\_LEADCHNL\_RA\_PACING\_THRESHOLD\_POLARITY^MDC|754305  
^MDC\_IDC\_ENUM\_POLARITY\_UNI^MDC||||F

OBX|202|CWE|722369^MDC\_IDC\_MSMT\_LEADCHNL\_RV\_PACING\_THRESHOLD\_POLARITY^MDC|754306  
^MDC\_IDC\_ENUM\_POLARITY\_BI^MDC||||F

OBX|203|CWE|722371^MDC\_IDC\_MSMT\_LEADCHNL\_LV\_PACING\_THRESHOLD\_POLARITY^MDC|754306  
^MDC\_IDC\_ENUM\_POLARITY\_BI^MDC||||F

OBX|204|NM|722432^MDC\_IDC\_MSMT\_LEADCHNL\_RA\_IMPEDANCE\_VALUE  
^MDC|200|ohms|<|||F||20121211

OBX|205|NM|722433^MDC\_IDC\_MSMT\_LEADCHNL\_RV\_IMPEDANCE\_VALUE  
^MDC|2000|ohms|>|||F||20121211

OBX|206|NM|722435^MDC\_IDC\_MSMT\_LEADCHNL\_LV\_IMPEDANCE\_VALUE  
^MDC|201|ohms||||F||20121209

OBX|207|CWE|722496^MDC\_IDC\_MSMT\_LEADCHNL\_RA\_IMPEDANCE\_POLARITY  
^MDC|754305^MDC\_IDC\_ENUM\_POLARITY\_UNI^MDC||||F

OBX|208|CWE|722497^MDC\_IDC\_MSMT\_LEADCHNL\_RV\_IMPEDANCE\_POLARITY  
^MDC|754305^MDC\_IDC\_ENUM\_POLARITY\_UNI^MDC||||F

OBX|209|CWE|722499^MDC\_IDC\_MSMT\_LEADCHNL\_LV\_IMPEDANCE\_POLARITY  
^MDC|754306^MDC\_IDC\_ENUM\_POLARITY\_BI^MDC||||F

OBX|210|DTM|722560^MDC\_IDC\_MSMT\_LEADHVCHNL\_DTM\_START^MDC|1|20121109|||||F

OBX|211|NM|722624^MDC\_IDC\_MSMT\_LEADHVCHNL\_IMPEDANCE^MDC|1|ohms|NAV|||F

OBX|212|CWE|722688^MDC\_IDC\_MSMT\_LEADHVCHNL\_MEASUREMENT\_TYPE^MDC|1|754433  
^MDC\_IDC\_ENUM\_HVCHNL\_MEASUREMENT\_TYPE\_LowVoltage^MDC||||F

OBX|213|CWE|722752^MDC\_IDC\_MSMT\_LEADHVCHNL\_STATUS^MDC|1|754241  
^MDC\_IDC\_ENUM\_CHANNEL\_STATUS\_CheckLead^MDC||||F

OBX|214|NM|729344^MDC\_IDC\_SET\_CRT\_LVRV\_DELAY^MDC||-100|ms||||F

OBX|215|CWE|729408^MDC\_IDC\_SET\_CRT\_PACED\_CHAMBERS^MDC|755265  
^MDC\_IDC\_ENUM\_CRT\_PACED\_CHAMBERS\_RV\_Only^MDC||||F

OBX|216|NM|729536^MDC\_IDC\_SET\_LEADCHNL\_RA\_SENSING\_SENSITIVITY^MDC||0.5|mV|||||F

OBX|217|NM|729537^MDC\_IDC\_SET\_LEADCHNL\_RV\_SENSING\_SENSITIVITY^MDC||0.9|mV|||||F

OBX|218|NM|729539^MDC\_IDC\_SET\_LEADCHNL\_LV\_SENSING\_SENSITIVITY^MDC||1.0|mV|||||F

OBX|219|CWE|729600^MDC\_IDC\_SET\_LEADCHNL\_RA\_SENSING\_POLARITY^MDC|||OFF|||F

OBX|220|CWE|729601^MDC\_IDC\_SET\_LEADCHNL\_RV\_SENSING\_POLARITY^MDC|754305  
^MDC\_IDC\_ENUM\_POLARITY\_UNI^MDC||||F

OBX|221|CWE|729676^MDC\_IDC\_SET\_LEADCHNL\_LV\_SENSING\_ANODE\_LOCATION^MDC|754498  
^MDC\_IDC\_ENUM\_ELECTRODE\_LOCATION\_RV^MDC||||F

OBX|222|CWE|729740^MDC\_IDC\_SET\_LEADCHNL\_LV\_SENSING\_ANODE\_ELECTRODE^MDC|||OFF|||F

OBX|223|CWE|729804^MDC\_IDC\_SET\_LEADCHNL\_LV\_SENSING\_CATHODE\_LOCATION^MDC|||OFF|||F

OBX|224|CWE|729868^MDC\_IDC\_SET\_LEADCHNL\_LV\_SENSING\_CATHODE\_ELECTRODE^MDC|754561  
^MDC\_IDC\_ENUM\_ELECTRODE\_NAME\_Tip^MDC|||F

OBX|225|CWE|729920^MDC\_IDC\_SET\_LEADCHNL\_RA\_SENSING\_ADAPTATION\_MODE^MDC|754625  
^MDC\_IDC\_ENUM\_SENSING\_ADAPTATION\_MODE\_AdaptiveSensing^MDC|||F

OBX|226|CWE|729921^MDC\_IDC\_SET\_LEADCHNL\_RV\_SENSING\_ADAPTATION\_MODE^MDC|754625  
^MDC\_IDC\_ENUM\_SENSING\_ADAPTATION\_MODE\_AdaptiveSensing^MDC|||F

OBX|227|CWE|729923^MDC\_IDC\_SET\_LEADCHNL\_LV\_SENSING\_ADAPTATION\_MODE^MDC|754626  
^MDC\_IDC\_ENUM\_SENSING\_ADAPTATION\_MODE\_FixedSensing^MDC||||F

OBX|228|NM|729984^MDC\_IDC\_SET\_LEADCHNL\_RA\_PACING\_AMPLITUDE^MDC||5.1|V|||||F

OBX|229|NM|729985^MDC\_IDC\_SET\_LEADCHNL\_RV\_PACING\_AMPLITUDE^MDC||5.0|V|||||F

OBX|230|NM|729987^MDC\_IDC\_SET\_LEADCHNL\_LV\_PACING\_AMPLITUDE^MDC||2.8|V|||||F

OBX|231|NM|730048^MDC\_IDC\_SET\_LEADCHNL\_RA\_PACING\_PULSEWIDTH^MDC||100.0|ms|||||F

OBX|232|NM|730049^MDC\_IDC\_SET\_LEADCHNL\_RV\_PACING\_PULSEWIDTH^MDC||200.0|ms|||||F

OBX|233|NM|730051^MDC\_IDC\_SET\_LEADCHNL\_LV\_PACING\_PULSEWIDTH^MDC||300.0|ms|||||F

OBX|234|CWE|730112^MDC\_IDC\_SET\_LEADCHNL\_RA\_PACING\_POLARITY^MDC|754305  
^MDC\_IDC\_ENUM\_POLARITY\_UNI^MDC||||F

OBX|235|CWE|730113^MDC\_IDC\_SET\_LEADCHNL\_RV\_PACING\_POLARITY^MDC|754305  
^MDC\_IDC\_ENUM\_POLARITY\_UNI^MDC||||F

OBX|236|CWE|730188^MDC\_IDC\_SET\_LEADCHNL\_LV\_PACING\_ANODE\_LOCATION^MDC|754498  
^MDC\_IDC\_ENUM\_ELECTRODE\_LOCATION\_RV^MDC||||F

OBX|237|CWE|730252^MDC\_IDC\_SET\_LEADCHNL\_LV\_PACING\_ANODE\_ELECTRODE^MDC|754564  
^MDC\_IDC\_ENUM\_ELECTRODE\_NAME\_Ring2^MDC||||F

OBX|238|CWE|730316^MDC\_IDC\_SET\_LEADCHNL\_LV\_PACING\_CATHODE\_LOCATION^MDC|754500  
^MDC\_IDC\_ENUM\_ELECTRODE\_LOCATION\_LV^MDC||||F

OBX|239|CWE|730380^MDC\_IDC\_SET\_LEADCHNL\_LV\_PACING\_CATHODE\_ELECTRODE^MDC|754566  
^MDC\_IDC\_ENUM\_ELECTRODE\_NAME\_Ring4^MDC||||F



OBX|240|CWE|730432^MDC\_IDC\_SET\_LEADCHNL\_RA\_PACING\_CAPTURE\_MODE^MDC||754690  
 ^MDC\_IDC\_ENUM\_PACING\_CAPTURE\_MODE\_FixedPacing^MDC|||||F  
 OBX|241|CWE|730433^MDC\_IDC\_SET\_LEADCHNL\_RV\_PACING\_CAPTURE\_MODE^MDC||754691  
 ^MDC\_IDC\_ENUM\_PACING\_CAPTURE\_MODE\_MonitorCapture^MDC|||||F  
 OBX|242|CWE|730435^MDC\_IDC\_SET\_LEADCHNL\_LV\_PACING\_CAPTURE\_MODE^MDC||754690  
 ^MDC\_IDC\_ENUM\_PACING\_CAPTURE\_MODE\_FixedPacing^MDC|||||F  
 OBX|243|CWE|730752^MDC\_IDC\_SET\_BRADY\_MODE^MDC||754760^MDC\_IDC\_ENUM\_BRADY\_MODE\_DDD  
 ^MDC|||||F  
 OBX|244|NM|730880^MDC\_IDC\_SET\_BRADY\_LOWRATE^MDC||100|{beats}/min|||||F  
 OBX|245|ST|731072^MDC\_IDC\_SET\_BRADY\_SENSOR\_TYPE^MDC|Akzelerometer + AMV|||||F  
 OBX|246|NM|731136^MDC\_IDC\_SET\_BRADY\_MAX\_TRACKING\_RATE^MDC||130|{beats}/min|||||F  
 OBX|247|NM|731200^MDC\_IDC\_SET\_BRADY\_MAX\_SENSOR\_RATE^MDC||180|{beats}/min|||||F  
 OBX|248|NM|731265^MDC\_IDC\_SET\_BRADY\_SAV\_DELAY\_HIGH^MDC||102|ms|||||F  
 OBX|249|NM|731266^MDC\_IDC\_SET\_BRADY\_SAV\_DELAY\_LOW^MDC||101|ms|||||F  
 OBX|250|NM|731329^MDC\_IDC\_SET\_BRADY\_PAV\_DELAY\_HIGH^MDC||104|ms|||||F  
 OBX|251|NM|731330^MDC\_IDC\_SET\_BRADY\_PAV\_DELAY\_LOW^MDC||103|ms|||||F  
 OBX|252|CWE|731392^MDC\_IDC\_SET\_BRADY\_AT\_MODE\_SWITCH\_MODE^MDC||754763  
 ^MDC\_IDC\_ENUM\_BRADY\_MODE\_DDIR^MDC|||||F  
 OBX|253|NM|731456^MDC\_IDC\_SET\_BRADY\_AT\_MODE\_SWITCH\_RATE^MDC||130|{beats}/min|||||F  
 OBX|254|CWE|731520^MDC\_IDC\_SET\_TACHYTHERAPY\_VSTAT^MDC||754817  
 ^MDC\_IDC\_ENUM\_THERAPY\_STATUS\_On^MDC|||||F  
 OBX|255|CWE|731648^MDC\_IDC\_SET\_ZONE\_TYPE^MDC|1|754945^MDC\_IDC\_ENUM\_ZONE\_TYPE\_Zone\_VF  
 ^MDC|||||F  
 OBX|256|CWE|731712^MDC\_IDC\_SET\_ZONE\_VENDOR\_TYPE^MDC|1|771139  
 ^MDC\_IDC\_ENUM\_ZONE\_VENDOR\_TYPE\_BSX-Zone\_VF^MDC|||||F  
 OBX|257|CWE|731776^MDC\_IDC\_SET\_ZONE\_STATUS^MDC|1|755009  
 ^MDC\_IDC\_ENUM\_ZONE\_STATUS\_Active^MDC|||||F  
 OBX|258|NM|731840^MDC\_IDC\_SET\_ZONE\_DETECTION\_INTERVAL^MDC|1|462|ms|||||F  
 OBX|259|CWE|732097^MDC\_IDC\_SET\_ZONE\_TYPE\_ATP\_1^MDC|1|755073  
 ^MDC\_IDC\_ENUM\_ATP\_TYPE\_Burst^MDC|||||F  
 OBX|260|NM|732161^MDC\_IDC\_SET\_ZONE\_NUM\_ATP\_SEQS\_1^MDC|1|1|||||F  
 OBX|261|NM|732225^MDC\_IDC\_SET\_ZONE\_SHOCK\_ENERGY\_1^MDC|1|21.1|J|||||F  
 OBX|262|NM|732289^MDC\_IDC\_SET\_ZONE\_NUM\_SHOCKS\_1^MDC|1|1|||||F  
 OBX|263|NM|732226^MDC\_IDC\_SET\_ZONE\_SHOCK\_ENERGY\_2^MDC|1|31.1|J|||||F  
 OBX|264|NM|732290^MDC\_IDC\_SET\_ZONE\_NUM\_SHOCKS\_2^MDC|1|1|||||F  
 OBX|265|NM|732227^MDC\_IDC\_SET\_ZONE\_SHOCK\_ENERGY\_3^MDC|1|41.1|J|||||F  
 OBX|266|NM|732291^MDC\_IDC\_SET\_ZONE\_NUM\_SHOCKS\_3^MDC|1|6|||||F  
 OBX|267|CWE|731648^MDC\_IDC\_SET\_ZONE\_TYPE^MDC|2|754946^MDC\_IDC\_ENUM\_ZONE\_TYPE\_Zone\_VT  
 ^MDC|||||F  
 OBX|268|CWE|731712^MDC\_IDC\_SET\_ZONE\_VENDOR\_TYPE^MDC|2|771137  
 ^MDC\_IDC\_ENUM\_ZONE\_VENDOR\_TYPE\_BSX-Zone\_VT^MDC|||||F  
 OBX|269|CWE|731776^MDC\_IDC\_SET\_ZONE\_STATUS^MDC|2|755009  
 ^MDC\_IDC\_ENUM\_ZONE\_STATUS\_Active^MDC|||||F  
 OBX|270|NM|731840^MDC\_IDC\_SET\_ZONE\_DETECTION\_INTERVAL^MDC|2|463|ms|||||F  
 OBX|271|CWE|732097^MDC\_IDC\_SET\_ZONE\_TYPE\_ATP\_1^MDC|2|755073  
 ^MDC\_IDC\_ENUM\_ATP\_TYPE\_Burst^MDC|||||F  
 OBX|272|NM|732161^MDC\_IDC\_SET\_ZONE\_NUM\_ATP\_SEQS\_1^MDC|2|2|||||F  
 OBX|273|CWE|732098^MDC\_IDC\_SET\_ZONE\_TYPE\_ATP\_2^MDC|2|755074  
 ^MDC\_IDC\_ENUM\_ATP\_TYPE\_Ramp^MDC|||||F  
 OBX|274|NM|732162^MDC\_IDC\_SET\_ZONE\_NUM\_ATP\_SEQS\_2^MDC|2|3|||||F  
 OBX|275|NM|732225^MDC\_IDC\_SET\_ZONE\_SHOCK\_ENERGY\_1^MDC|2|22.2|J|||||F  
 OBX|276|NM|732289^MDC\_IDC\_SET\_ZONE\_NUM\_SHOCKS\_1^MDC|2|1|||||F  
 OBX|277|NM|732226^MDC\_IDC\_SET\_ZONE\_SHOCK\_ENERGY\_2^MDC|2|32.2|J|||||F  
 OBX|278|NM|732290^MDC\_IDC\_SET\_ZONE\_NUM\_SHOCKS\_2^MDC|2|1|||||F  
 OBX|279|NM|732227^MDC\_IDC\_SET\_ZONE\_SHOCK\_ENERGY\_3^MDC|2|42.2|J|||||F  
 OBX|280|NM|732291^MDC\_IDC\_SET\_ZONE\_NUM\_SHOCKS\_3^MDC|2|3|||||F  
 OBX|281|CWE|731648^MDC\_IDC\_SET\_ZONE\_TYPE^MDC|3|754946^MDC\_IDC\_ENUM\_ZONE\_TYPE\_Zone\_VT  
 ^MDC|||||F  
 OBX|282|CWE|731712^MDC\_IDC\_SET\_ZONE\_VENDOR\_TYPE^MDC|3|771138  
 ^MDC\_IDC\_ENUM\_ZONE\_VENDOR\_TYPE\_BSX-Zone\_VT-1^MDC|||||F  
 OBX|283|CWE|731776^MDC\_IDC\_SET\_ZONE\_STATUS^MDC|3|755009  
 ^MDC\_IDC\_ENUM\_ZONE\_STATUS\_Active^MDC|||||F  
 OBX|284|NM|731840^MDC\_IDC\_SET\_ZONE\_DETECTION\_INTERVAL^MDC|3|465|ms|||||F  
 OBX|285|CWE|732097^MDC\_IDC\_SET\_ZONE\_TYPE\_ATP\_1^MDC|3|755074  
 ^MDC\_IDC\_ENUM\_ATP\_TYPE\_Ramp^MDC|||||F

OBX|286|NM|732161^MDC\_IDC\_SET\_ZONE\_NUM\_ATP\_SEQS\_1^MDC|3|4|||||F  
 OBX|287|CWE|732098^MDC\_IDC\_SET\_ZONE\_TYPE\_ATP\_2^MDC|3|755076  
 ^MDC\_IDC\_ENUM\_ATP\_TYPE\_RampScan^MDC|||||F  
 OBX|288|NM|732162^MDC\_IDC\_SET\_ZONE\_NUM\_ATP\_SEQS\_2^MDC|3|5|||||F  
 OBX|289|NM|732225^MDC\_IDC\_SET\_ZONE\_SHOCK\_ENERGY\_1^MDC|3|23.2|J|||||F  
 OBX|290|NM|732289^MDC\_IDC\_SET\_ZONE\_NUM\_SHOCKS\_1^MDC|3|1|||||F  
 OBX|291|NM|732226^MDC\_IDC\_SET\_ZONE\_SHOCK\_ENERGY\_2^MDC|3|33.2|J|||||F  
 OBX|292|NM|732290^MDC\_IDC\_SET\_ZONE\_NUM\_SHOCKS\_2^MDC|3|1|||||F  
 OBX|293|NM|732227^MDC\_IDC\_SET\_ZONE\_SHOCK\_ENERGY\_3^MDC|3|43.2|J|||||F  
 OBX|294|NM|732291^MDC\_IDC\_SET\_ZONE\_NUM\_SHOCKS\_3^MDC|3|2|||||F  
 OBX|295|DTM|737489^MDC\_IDC\_STAT\_DTM\_START^MDC||20120522|||||F  
 OBX|296|DTM|737490^MDC\_IDC\_STAT\_DTM\_END^MDC||20120522|||||F  
 OBX|297|DTM|737505^MDC\_IDC\_STAT\_BRADY\_DTM\_START^MDC||20120522|||||F  
 OBX|298|DTM|737506^MDC\_IDC\_STAT\_BRADY\_DTM\_END^MDC||20120522|||||F  
 OBX|299|NM|737520^MDC\_IDC\_STAT\_BRADY\_RA\_PERCENT\_PACED^MDC||0|%|||||F  
 OBX|300|NM|737536^MDC\_IDC\_STAT\_BRADY\_RV\_PERCENT\_PACED^MDC||0|%|||||F  
 OBX|301|DTM|737777^MDC\_IDC\_STAT\_CRT\_DTM\_START^MDC||20120522|||||F  
 OBX|302|DTM|737778^MDC\_IDC\_STAT\_CRT\_DTM\_END^MDC||20120522|||||F  
 OBX|303|NM|737792^MDC\_IDC\_STAT\_CRT\_LV\_PERCENT\_PACED^MDC||0|%|||||F  
 OBX|304|CWE|737952^MDC\_IDC\_STAT\_EPISODE\_TYPE^MDC|1|754882  
 ^MDC\_IDC\_ENUM\_EPISODE\_TYPE\_Epis\_VT^MDC|||||F  
 OBX|305|CWE|737984^MDC\_IDC\_STAT\_EPISODE\_VENDOR\_TYPE^MDC|1|771077  
 ^MDC\_IDC\_ENUM\_EPISODE\_VENDOR\_TYPE\_BSX-Epis\_NSVT^MDC|||||F  
 OBX|306|NM|738000^MDC\_IDC\_STAT\_EPISODE\_RECENT\_COUNT^MDC|1|0|||||F  
 OBX|307|DTM|738017^MDC\_IDC\_STAT\_EPISODE\_RECENT\_COUNT\_DTM\_START^MDC|1|20120522|||||F  
 OBX|308|DTM|738018^MDC\_IDC\_STAT\_EPISODE\_RECENT\_COUNT\_DTM\_END^MDC|1|20120522|||||F  
 OBX|309|CWE|737952^MDC\_IDC\_STAT\_EPISODE\_TYPE^MDC|1|754882  
 ^MDC\_IDC\_ENUM\_EPISODE\_TYPE\_Epis\_VT^MDC|||||F  
 OBX|310|CWE|737984^MDC\_IDC\_STAT\_EPISODE\_VENDOR\_TYPE^MDC|1|771077  
 OBX|311|NM|738000^MDC\_IDC\_STAT\_EPISODE\_RECENT\_COUNT^MDC|1|0|||||F  
 OBX|312|DTM|738017^MDC\_IDC\_STAT\_EPISODE\_RECENT\_COUNT\_DTM\_START^MDC|1|20120522|||||F  
 OBX|313|DTM|738018^MDC\_IDC\_STAT\_EPISODE\_RECENT\_COUNT\_DTM\_END^MDC|1|20120522|||||F  
 OBX|314|CWE|737952^MDC\_IDC\_STAT\_EPISODE\_TYPE^MDC|2|754884  
 ^MDC\_IDC\_ENUM\_EPISODE\_TYPE\_Epis\_SVT^MDC|||||F  
 OBX|315|CWE|737984^MDC\_IDC\_STAT\_EPISODE\_VENDOR\_TYPE^MDC|2|771076  
 ^MDC\_IDC\_ENUM\_EPISODE\_VENDOR\_TYPE\_BSX-Epis\_SVT^MDC|||||F  
 OBX|316|NM|738000^MDC\_IDC\_STAT\_EPISODE\_RECENT\_COUNT^MDC|2|0|||||F  
 OBX|317|DTM|738017^MDC\_IDC\_STAT\_EPISODE\_RECENT\_COUNT\_DTM\_START^MDC|2|20120522|||||F  
 OBX|318|DTM|738018^MDC\_IDC\_STAT\_EPISODE\_RECENT\_COUNT\_DTM\_END^MDC|2|20120522|||||F  
 OBX|319|CWE|737952^MDC\_IDC\_STAT\_EPISODE\_TYPE^MDC|4|754883  
 ^MDC\_IDC\_ENUM\_EPISODE\_TYPE\_Epis\_ATAF^MDC|||||F  
 OBX|320|CWE|737984^MDC\_IDC\_STAT\_EPISODE\_VENDOR\_TYPE^MDC|4|771078  
 ^MDC\_IDC\_ENUM\_EPISODE\_VENDOR\_TYPE\_BSX-Epis\_ATR^MDC|||||F  
 OBX|321|NM|738000^MDC\_IDC\_STAT\_EPISODE\_RECENT\_COUNT^MDC|4|0|||||F  
 OBX|322|DTM|738017^MDC\_IDC\_STAT\_EPISODE\_RECENT\_COUNT\_DTM\_START^MDC|4|20120522|||||F  
 OBX|323|DTM|738018^MDC\_IDC\_STAT\_EPISODE\_RECENT\_COUNT\_DTM\_END^MDC|4|20120522|||||F  
 OBX|324|CWE|737952^MDC\_IDC\_STAT\_EPISODE\_TYPE^MDC|5|754888  
 ^MDC\_IDC\_ENUM\_EPISODE\_TYPE\_Epis\_Other^MDC|||||F  
 OBX|325|CWE|737984^MDC\_IDC\_STAT\_EPISODE\_VENDOR\_TYPE^MDC|5|771079  
 OBX|326|NM|738000^MDC\_IDC\_STAT\_EPISODE\_RECENT\_COUNT^MDC|5|0|||||F  
 OBX|327|DTM|738017^MDC\_IDC\_STAT\_EPISODE\_RECENT\_COUNT\_DTM\_START^MDC|5|20120522|||||F  
 OBX|328|DTM|738018^MDC\_IDC\_STAT\_EPISODE\_RECENT\_COUNT\_DTM\_END^MDC|5|20120522|||||F  
 OBX|329|CWE|737952^MDC\_IDC\_STAT\_EPISODE\_TYPE^MDC|6|754881  
 ^MDC\_IDC\_ENUM\_EPISODE\_TYPE\_Epis\_VF^MDC|||||F  
 OBX|330|CWE|737984^MDC\_IDC\_STAT\_EPISODE\_VENDOR\_TYPE^MDC|6|771073  
 ^MDC\_IDC\_ENUM\_EPISODE\_VENDOR\_TYPE\_BSX-Epis\_VF^MDC|||||F  
 OBX|331|NM|738000^MDC\_IDC\_STAT\_EPISODE\_RECENT\_COUNT^MDC|6|1|||||F  
 OBX|332|DTM|738017^MDC\_IDC\_STAT\_EPISODE\_RECENT\_COUNT\_DTM\_START^MDC|6|20120522|||||F  
 OBX|333|DTM|738018^MDC\_IDC\_STAT\_EPISODE\_RECENT\_COUNT\_DTM\_END^MDC|6|20120522|||||F  
 OBX|334|CWE|737952^MDC\_IDC\_STAT\_EPISODE\_TYPE^MDC|7|754882  
 ^MDC\_IDC\_ENUM\_EPISODE\_TYPE\_Epis\_VT^MDC|||||F  
 OBX|335|CWE|737984^MDC\_IDC\_STAT\_EPISODE\_VENDOR\_TYPE^MDC|7|771074  
 ^MDC\_IDC\_ENUM\_EPISODE\_VENDOR\_TYPE\_BSX-Epis\_VT^MDC|||||F  
 OBX|336|NM|738000^MDC\_IDC\_STAT\_EPISODE\_RECENT\_COUNT^MDC|7|2|||||F  
 OBX|337|DTM|738017^MDC\_IDC\_STAT\_EPISODE\_RECENT\_COUNT\_DTM\_START^MDC|7|20120522|||||F

OBX|338|DTM|738018^MDC\_IDC\_STAT\_EPISODE\_RECENT\_COUNT\_DTM\_END^MDC|7|20120522|||||F  
 OBX|339|CWE|737952^MDC\_IDC\_STAT\_EPISODE\_TYPE^MDC|8|754882  
 ^MDC\_IDC\_ENUM\_EPISODE\_TYPE\_Epis\_VT^MDC|||||F  
 OBX|340|CWE|737984^MDC\_IDC\_STAT\_EPISODE\_VENDOR\_TYPE^MDC|8|771075  
 ^MDC\_IDC\_ENUM\_EPISODE\_VENDOR\_TYPE\_BSX-Epis\_VT-1^MDC|||||F  
 OBX|341|NM|738000^MDC\_IDC\_STAT\_EPISODE\_RECENT\_COUNT^MDC|8|3|||||F  
 OBX|342|DTM|738017^MDC\_IDC\_STAT\_EPISODE\_RECENT\_COUNT\_DTM\_START^MDC|8|20120522|||||F  
 OBX|343|DTM|738018^MDC\_IDC\_STAT\_EPISODE\_RECENT\_COUNT\_DTM\_END^MDC|8|20120522|||||F  
 OBX|344|CWE|737952^MDC\_IDC\_STAT\_EPISODE\_TYPE^MDC|9|754884  
 ^MDC\_IDC\_ENUM\_EPISODE\_TYPE\_Epis\_Monitor^MDC|||||F  
 OBX|345|CWE|737984^MDC\_IDC\_STAT\_EPISODE\_VENDOR\_TYPE^MDC|9|||||||F  
 OBX|346|NM|738000^MDC\_IDC\_STAT\_EPISODE\_RECENT\_COUNT^MDC|9|4|||||F  
 OBX|347|DTM|738017^MDC\_IDC\_STAT\_EPISODE\_RECENT\_COUNT\_DTM\_START^MDC|9|20120522|||||F  
 OBX|348|DTM|738018^MDC\_IDC\_STAT\_EPISODE\_RECENT\_COUNT\_DTM\_END^MDC|9|20120522|||||F

Outdated version. Do not use.  
 Version überholt. Nicht verwenden.  
 Version obsolete. Ne pas utiliser.  
 Versión obsoleta. No utilizar.  
 Versione obsoleta. Non utilizzate.  
 Verouderde versie. Niet gebruiken.  
 Παλιά έκδοση. Μην την χρησιμοποιείτε.  
 Versão obsoleta. Não utilize.  
 Föråldrad version. Använd ej.  
 Zastaralá verze. Nepoužívat.  
 Utdatert versjon. Skal ikke brukes.  
 Zastaraná verzia. Nepoužívať.  
 Elavult verzió. Ne használja!  
 Wersja nieaktualna. Nie używać.

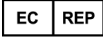
Outdated version. Do not use.  
Version überholt. Nicht verwenden.  
Version obsolète. Ne pas utiliser.  
Versión obsoleta. No utilizar.  
Versione obsoleta. Non utilizzare.  
Verouderde versie. Niet gebruiken.  
Föråldrad version. Använd ej.  
Παλιά έκδοση. Μην την χρησιμοποιείτε.  
Versão obsoleta. Não utilize.  
Forældet version. Må ikke anvendes.  
Zastaralá verze. Nepoužívat.  
Utdatert versjon. Skal ikke brukes.  
Zastaraná verzia. Nepoužívať.  
Elavult verzió. Ne használja!  
Wersja nieaktualna. Nie używać.

Outdated version. Do not use.  
Version überholt. Nicht verwenden.  
Version obsolète. Ne pas utiliser.  
Versión obsoleta. No utilizar.  
Versione obsoleta. Non utilizzare.  
Verouderde versie. Niet gebruiken.  
Föråldrad version. Använd ej.  
Παλιά έκδοση. Μην την χρησιμοποιείτε.  
Versão obsoleta. Não utilize.  
Forældet version. Må ikke anvendes.  
Zastaralá verze. Nepoužívat.  
Utdatert versjon. Skal ikke brukes.  
Zastaraná verzia. Nepoužívať.  
Elavult verzió. Ne használja!  
Wersja nieaktualna. Nie używać.

# Boston Scientific



Boston Scientific  
4100 Hamline Avenue North  
St. Paul, MN 55112-5798 USA



Guidant Europe NV/SA; Boston Scientific  
Green Square, Lambroekstraat 5D  
1831 Diegem, Belgium

1.800.CARDIAC (227.3422)  
+1.651.582.4000

[www.bostonscientific.com](http://www.bostonscientific.com)

© 2013 Boston Scientific Corporation or its affiliates.  
All rights reserved.

359273-002 DE Europe 2013-10

Outdated version. Do not use.  
Version überholt. Nicht verwenden.  
Version obsolete. Ne pas utiliser.  
Versión obsoleta. No utilizar.  
Versione obsoleta. Non utilizzare.  
Verouderde versie. Niet gebruiken.  
Föråldrad version. Använd ej.  
Παλιά έκδοση. Μην την χρησιμοποιείτε.  
Versão obsoleta. Não utilize.  
Forældet version. Må ikke anvendes.  
Zastaralá verze. Nepoužívat.  
Utdatert versjon. Skal ikke brukes.  
Zastaraná verzia. Nepoužívať.  
Elavult verzió. Ne használja!  
Wersja nieaktualna. Nie używać.

